

TEILCHENPHYSIK FÜR FORTGESCHRITTENE

Die starke Wechselwirkung und Quantenchromodynamik,
Teil II (in Anlehnung an Skript R. Klanner/T. Schoerner)



Caren Hagner
Achim Geiser

Universität Hamburg, IExpPh
Sommersemester 2007

1. Die quantenmechanische Beschreibung von Elektronen
 2. Feynman-Regeln und –Diagramme
 3. Lagrange-Formalismus und Eichprinzip
 4. QED
- Einschub: Beschleuniger und Experimente
5. Starke Wechselwirkung und QCD
 - 5.1 Einleitung: Quarks und Farbe
 - 5.2 Einschub: Gruppentheorie und Anwendungen
 - 5.3 QCD: die Theorie der starken Wechselwirkung: SU(3)-Eichinvarianz, Gell-Mann-Matrizen, Masselosigkeit der Gluonen, Lagrange-Dichte der QCD, Renormierung, "running coupling", asymptotische Freiheit und Confinement
 - 5.4 Anwendung: Jets, Fragmentation, Entdeckung des Gluons, Messung des Gluonspins
 - 5.5 Perturbative QCD: Wirkungsquerschnitte, Messung von α_s
 - 5.6 Tief-unelastische Streuung

5.4 Fragmentation+Jets

Wie sehen Detektoren Quarks und Gluonen?

- werden Quarks/Gluonen getrennt \rightarrow

Abstrahlung von QCD-Feldquanten $g - \bar{q}q$

mit kleinen ($\sim \Lambda = 0.2 \text{ GeV}$) Transversalimpulsen

(Fragmentation)

\rightarrow für hohe Transversalimpulse \rightarrow enges

\bar{p}

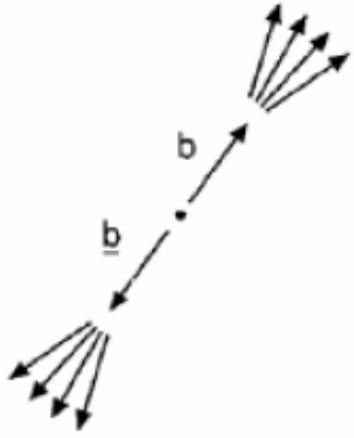
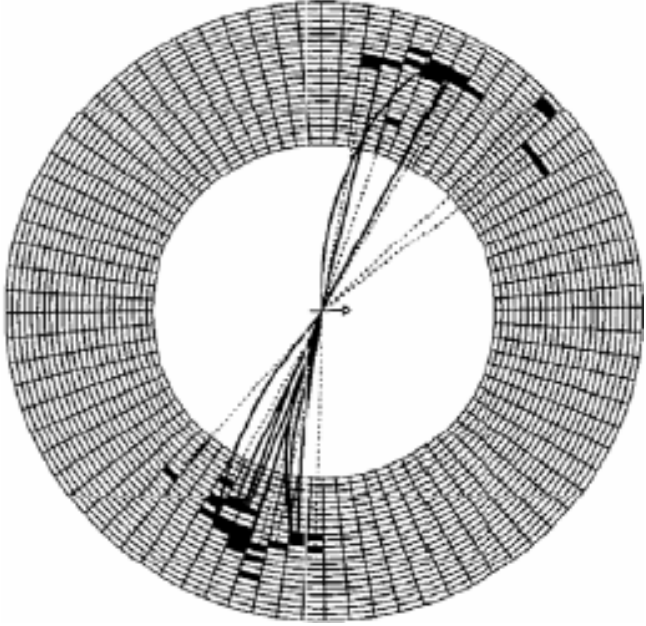
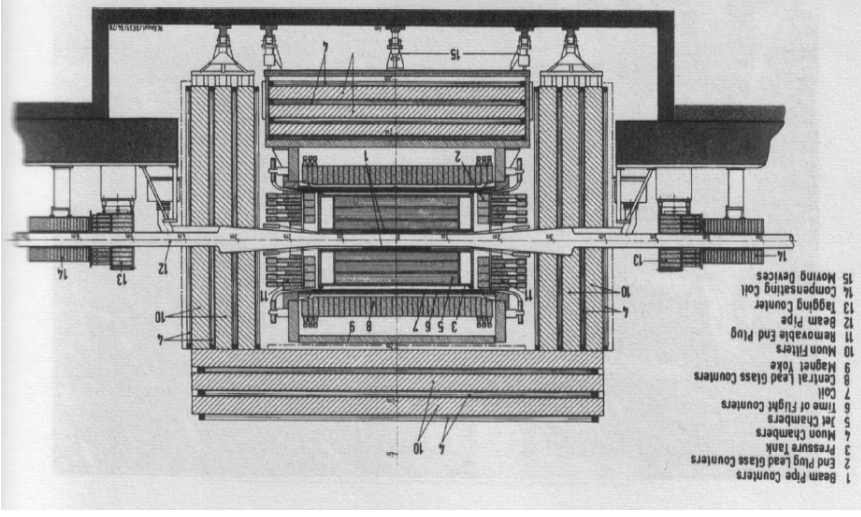
Teilchenbündel (Jet), aus dem sich im Detektor

des Quarks/Gluon rekonstruieren lässt

- Fragmentation = statistischer Prozess mit

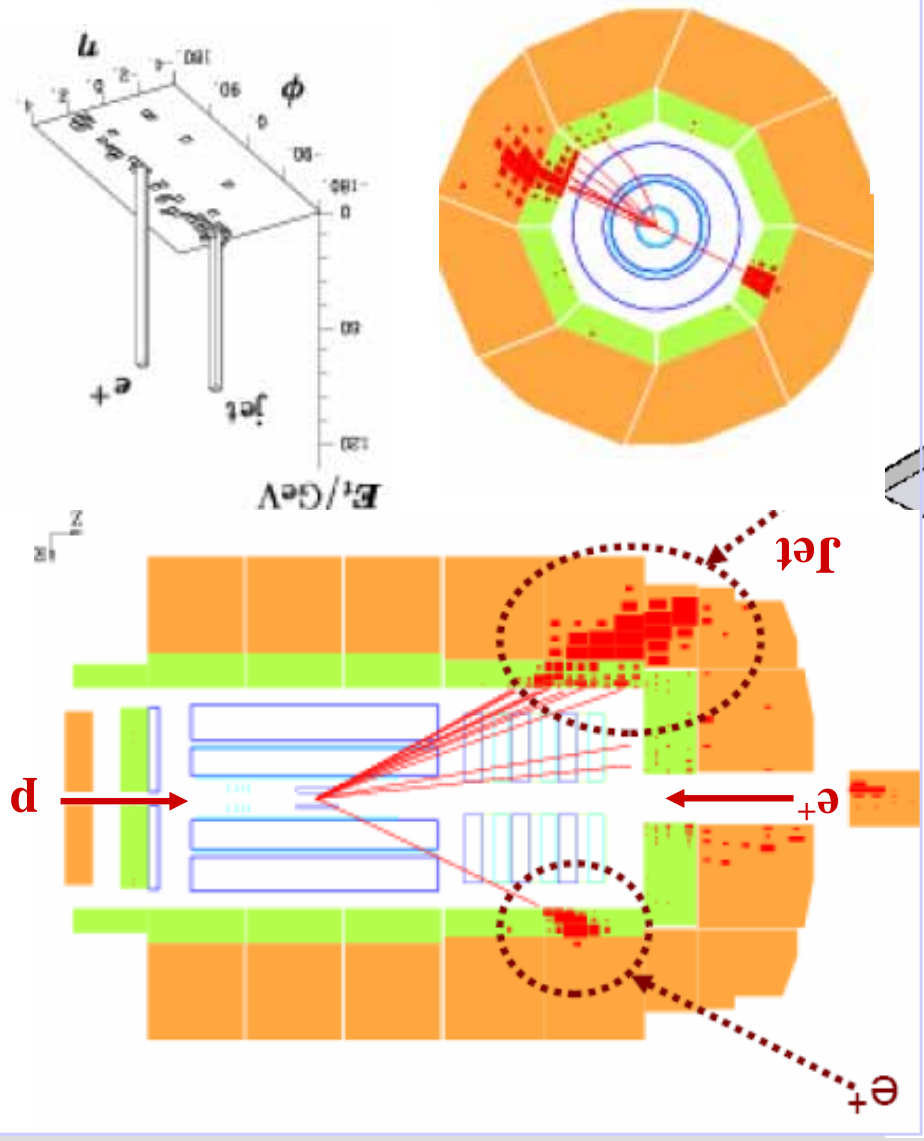
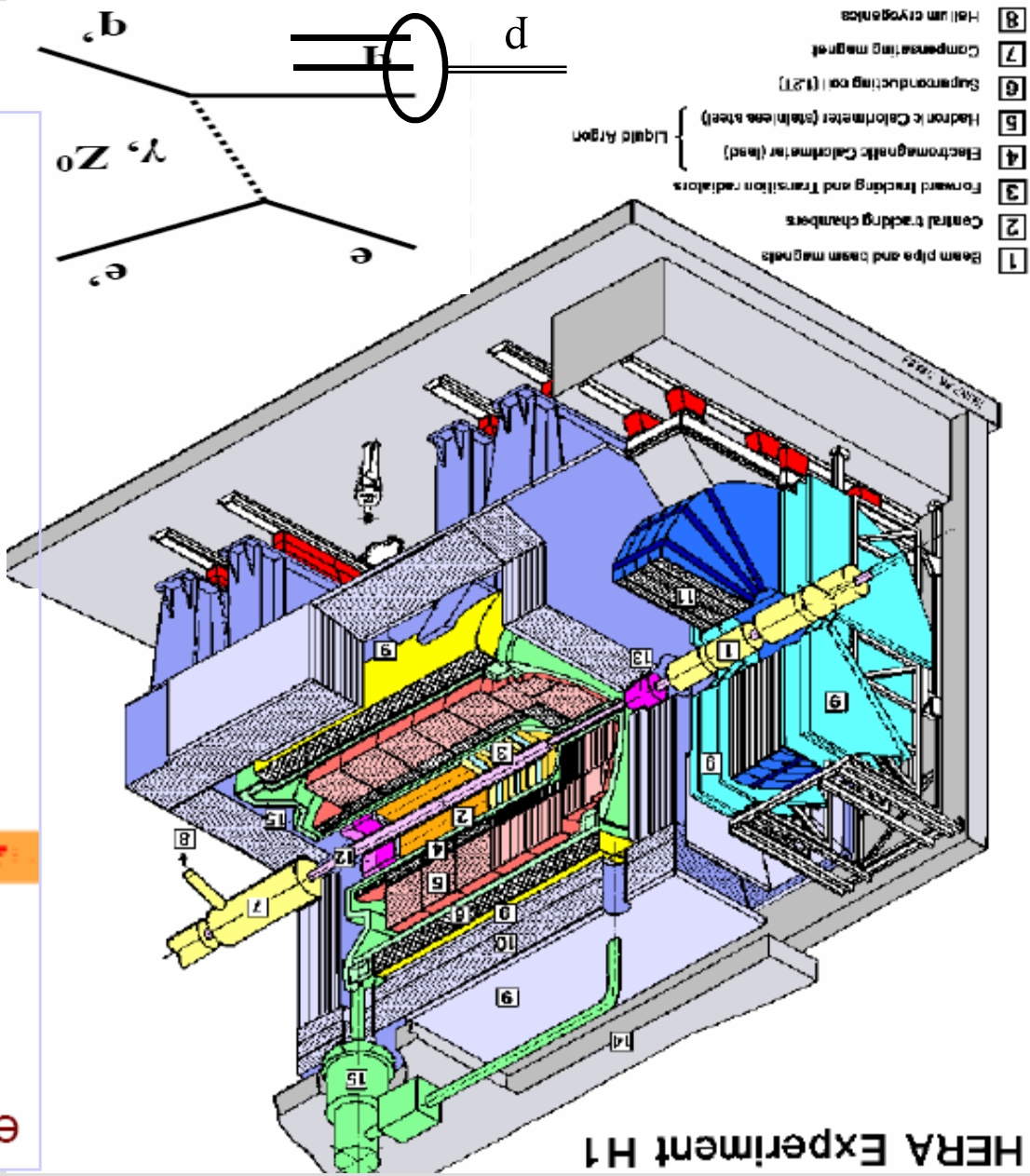
großen Fluktuationen in Anzahl und Art der
Teilchen ($\pi^\pm, \pi^0, K^\pm, K^0, \dots, p, n, \dots$)

\rightarrow Nachweis durch Spurdetektor und Kalorimeter



5.4 Jets

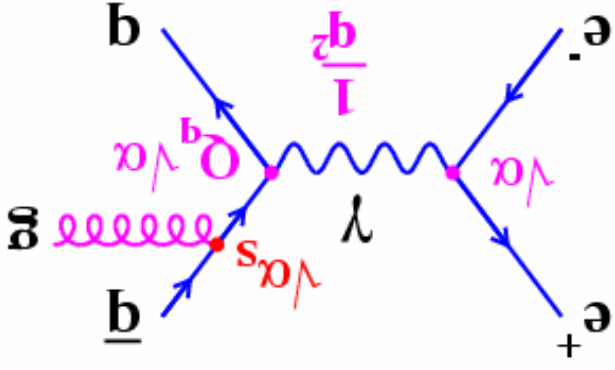
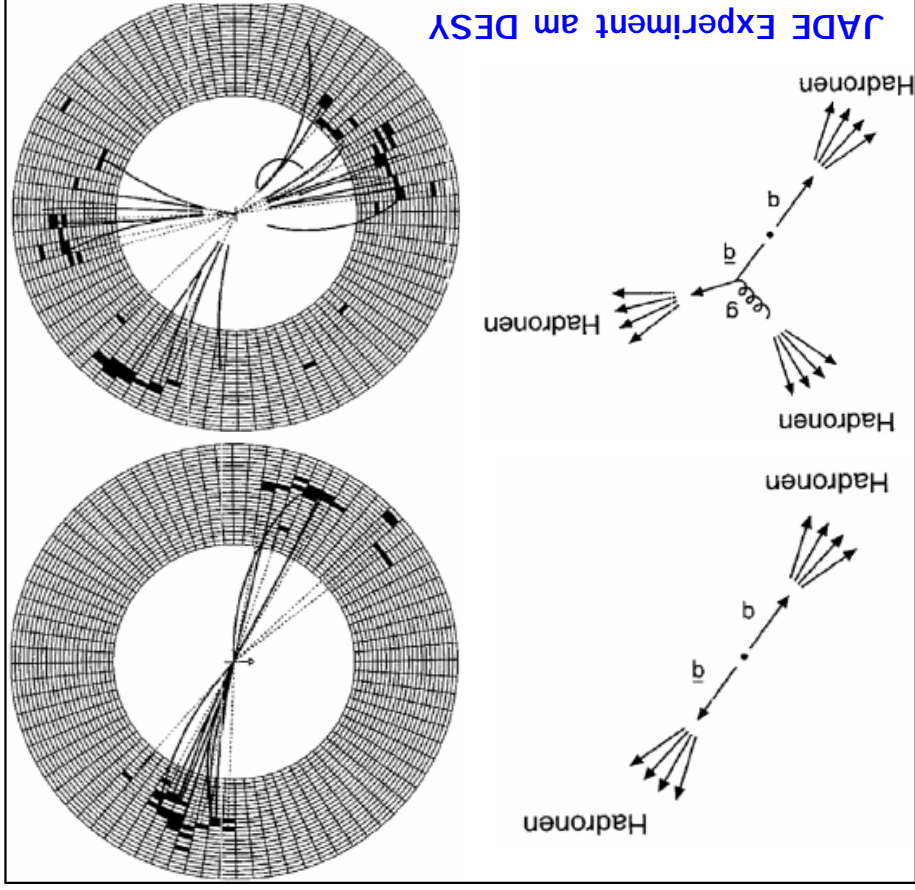
HERA Experiment H1



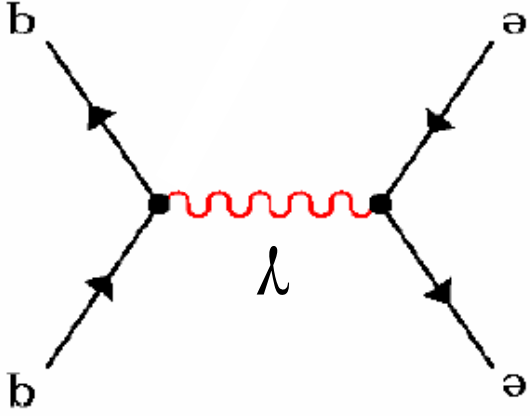
5.4 Jets – Entdeckung der Gluonen - 1979

DESY-PETRA: Wichtiger experimenteller Schritt auf dem Weg zur QCD:

3-Jet Ereignisse \rightarrow "Nachweis" der Gluonen



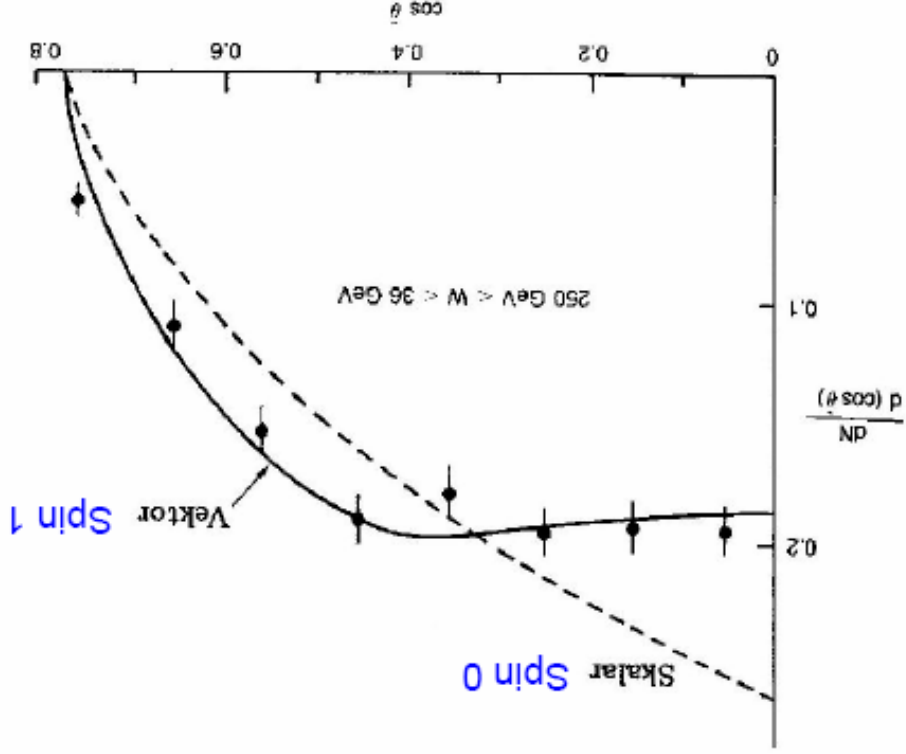
In $\sim \alpha_s$ [$\sim 10\%$] der Ereignisse wird ein Gluon abgestrahlt
 \rightarrow Bestätigung der QCD-Vorhersage,
 \rightarrow Möglichkeit α_s zu bestimmen



5.4 Spin und Farbladung der Gluonen

Spin der Gluonen:

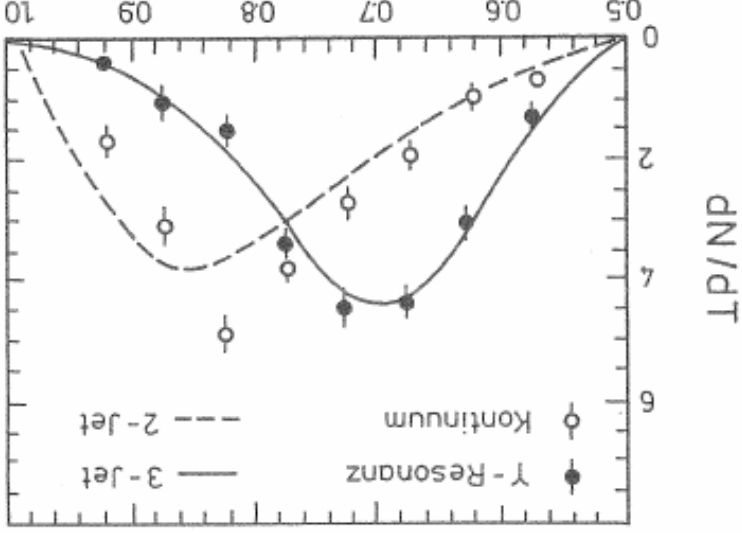
- abgestrahtetes Gluon (statistisch) hat kleineren Impuls als die beiden Quarks
- Winkel des höchst-energetischen Jets zur Achse der beiden anderen Jets empfindlich auf Gluon-Spin (Berechnung im Rahmen der QCD) – bereits bei den PETRA-Experimenten gezeigt



→ Spin der Gluonen: 1

Farbladung der Gluonen:

- $\Upsilon(bb)$ -Resonanz hat $J^P = 1^- \rightarrow gg$ -Zerfall wegen C-Paritätserhaltung in der starken WW verboten
- für Farb-neutrale Gluonen wäre der Zerfall $\Upsilon - g - q\bar{q}$ erlaubt
- kann durch Ergebnisse PLUTO-Experiment (DESY 1979) ausgeschlossen werden



Trust: Maß für Isotropie der erzeugten Teilchen:

$T = 0.5$... isotrop

$T = 1.0$... 2 entgegengesetzt fliegende Teilchen (Kontinuum: ~90% 2 Jets, 10% > 2 Jets)

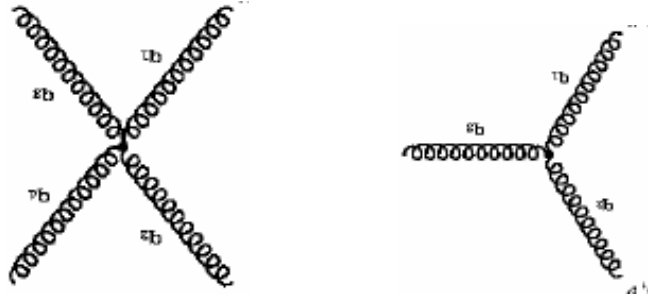
5.4 Farbladung der Gluonen + Zusammenfassung

Zusammenfassung:

- **QCD**: Eichinvariante Quantenfeldtheorie nach dem Muster der QED (Drehung im 1-dim Ladungsraum \rightarrow Drehung im 3-dim Farbraum = nicht Abelsche Eichtheorie – $SU(3)$)
- Schleifendiagramme: Gluonenbeiträge $>$ Quarkbeiträge \rightarrow Kopplungskonstante nimmt bei kleinen Abständen (Impulsüberträge groß) ab \rightarrow asymptotische Freiheit (\rightarrow perturbative QCD) \rightarrow Confinement (\rightarrow nicht-perturbative QCD) (komplexe Struktur des Vakuums dank Quantenfluktuationen)
- Experimente bestätigen QCD (davon mehr)

Farbladung der Gluonen (cont.):

Außerdem wurde in zahlreichen Studien zu den Winkelverteilungen in 3-, 4-, und 5-Jet-Ereignissen bei z.B. e^+e^- (LEP) und ep (HERA) die Stärke der 3- und 4-Gluonenkopplung wie vorhergesagt gemessen.



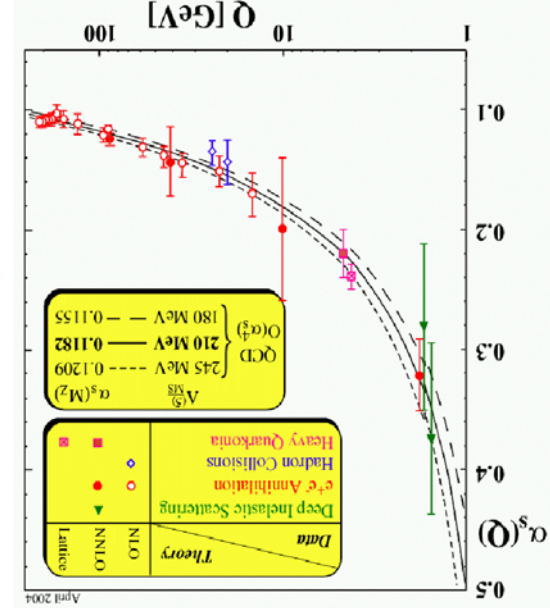
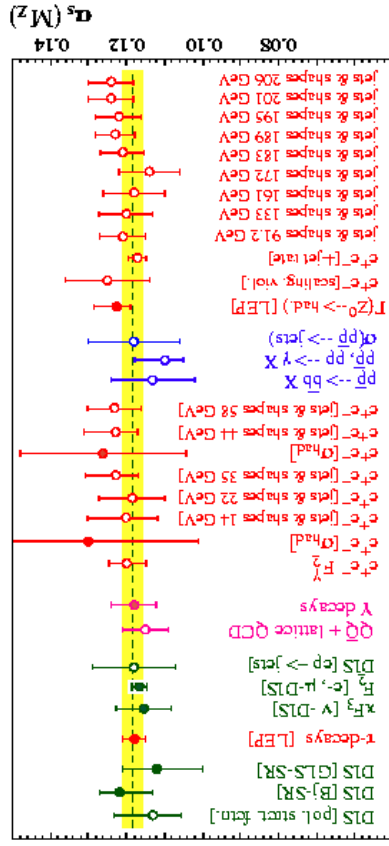
5.5 perturbative QCD: SKALENABHÄNGIGKEIT VON α_s

Theorie (erste Ordnung, $M_Z = 91.2 \text{ GeV}$):

$$\alpha_s(Q^2) = \frac{\alpha_s(M_Z^2)}{1 + \frac{1}{12\pi} (33 - 2n_f) \alpha_s(M_Z^2) \ln \frac{M_Z^2}{Q^2}}$$

Entweder wird Kopplung bei Skala $Q^2 \neq M_Z^2$

gemessen und dann (zwecks Vergleichbarkeit) mithilfe obiger Gleichung zur Skala M_Z^2 "evolviert".



Oder Messungen werden bei "ihrer" Skala dargestellt und mit theoretischer Vorhersage für $\alpha_s(Q^2)$ für gegebenes $\alpha_s(M_Z^2)$ (z.B. Weltmittelwert) verglichen.

Aktuelles	$\alpha_s(M_Z) = 0.1176(20)$ [PDG 2006]
Weltmittel	$\alpha_s(M_Z) = 0.1182(27)$ [Bethke]
HERA (NLO)	$\alpha_s(M_Z) = 0.1186 \pm 0.0011$ ($\text{exp} \pm 0.0050$ (th))

Der Weltmittelwert hat einen deutlich kleineren (theoretischen) Fehler als der HERA-Wert – hier fließen theoretisch besser verstandene Resultate ein (HERA: nur nächstführende Ordnung QCD – "next-to-leading order", NLO). HERA liefert aber die Werte mit dem kleinsten experimentellen Fehler (Theorie kann später nachgebessert werden).

Im Folgenden Diskussion verschiedener exp.

Bestimmungen der starken Kopplung α_s :

– 3/4-Jet-Raten in e^+e^- -Kollisionen (LEP)

– Skalenverletzungen in DIS (HERA)

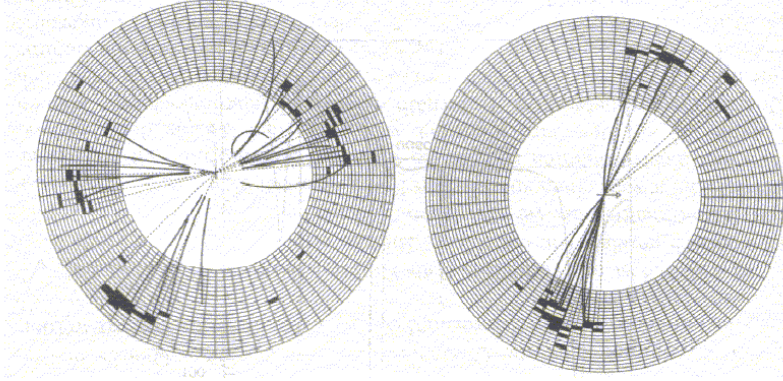
– Jet-Physik in ep-Streuung (Tevatron ähnlich)

(nicht erwähnt: τ -Zerfall, Z-Zerfall, interne Struktur von Jets, Gittertheorie, Υ -Zerfall, ...)

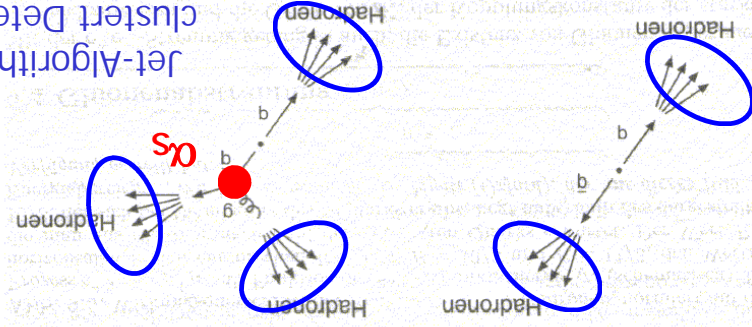


5.5 α_S AUS JETS IN e^+e^- (PETRA, LEP)

Erinnerung: 3-Jet-Ereignisse bei PETRA \rightarrow Sensitivität auf starke Kopplung α_S :



Jet-Algorithmus
clustert Detektor-
Objekte zu Jets.



3-Jet-Rate naiv in nächstführender Ordnung QCD:

$$R_3(\sqrt{s}) = \frac{\sigma_3}{\sigma_3 + \alpha_S^2} \approx \frac{\sigma_3}{1 + \alpha_S} \approx \alpha_S^2(\sqrt{s})$$

Relevante Energieskala: $\mu \sim \sqrt{s}$.

Praktisch leicht anderes Vorgehen: Bestimme für verschiedene \sqrt{s} die Abhängigkeit von einer bestimmten Variablen, typisch y_{cut} :
 - Definiere "Abstand" zweier Teilchen i, j : y_{ij} , für alle Teilchen im Ereignis:

$$y_{ij} = \frac{2 \min(E_i^2, E_j^2)}{s} (1 - \cos \theta_{ij})$$

- Falls ein $y_{ij} > y_{cut}$, mit y_{cut} vordefiniert, dann kombiniere Teilchen i, j zu neuem "Teilchen" ij :

$$d_{ij}^i + d_{ij}^j = d_{ij}^{ij}$$

- Neues Clustering mit den "Teilchen" ij . Clustering endet, falls alle $y_{ij} > y_{cut}$. Die dann verbleibenden "Teilchen" sind Jets.

- Damit hängt aber Anzahl der Jets von y_{cut} ab: y_{cut} klein \rightarrow Jets werden nicht lange geclustert \rightarrow eher mehr Jets.
 - y_{cut} gross \rightarrow eher weniger Jets.

Betrachte R_3 (oder R_4) als Funktion von y_{cut} (\rightarrow)

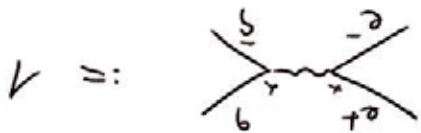
$$R_4(y_{cut}) \propto A(y_{cut}) \alpha_S^2 + B(y_{cut}) \alpha_S^3$$

\rightarrow in R_4 höhere Sensitivität für Kopplung als in R_3 !

α_S AUS JETS IN e^+e^-

$e^+e^- \rightarrow \text{ jets}$

002

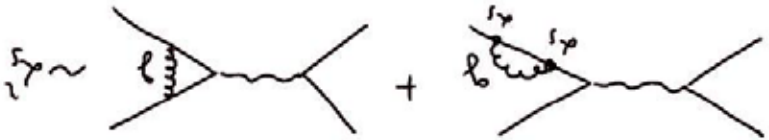


Ⓐ 0. Ordnung

$:= 1$



Ⓑ 1. Ordnung

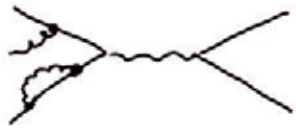


Ⓒ

aber: Interferenzen: $\sim \sqrt{1 \cdot \alpha_S^2} \approx \alpha_S$



Ⓓ



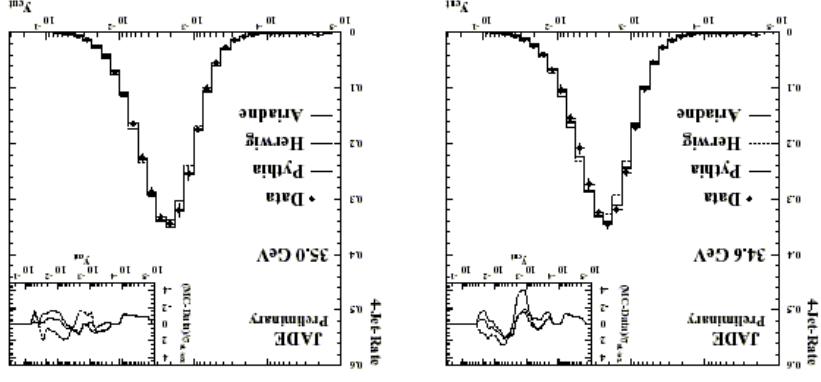
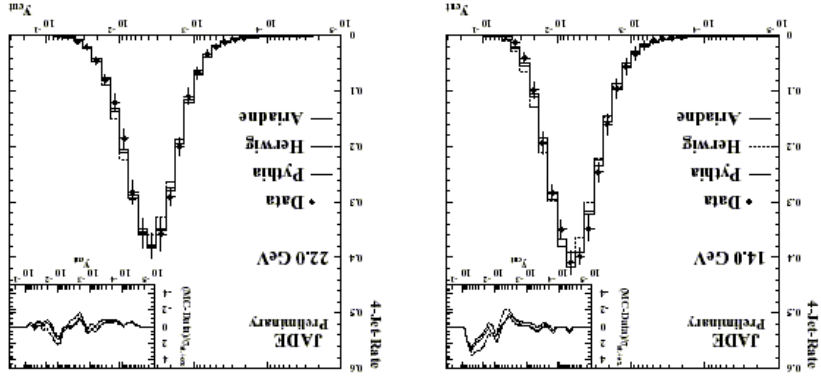
z.B.

+ Interferenzen mit Ⓒ

5.5 α_s AUS JETS IN e^+e^- (PETRA, LEP)

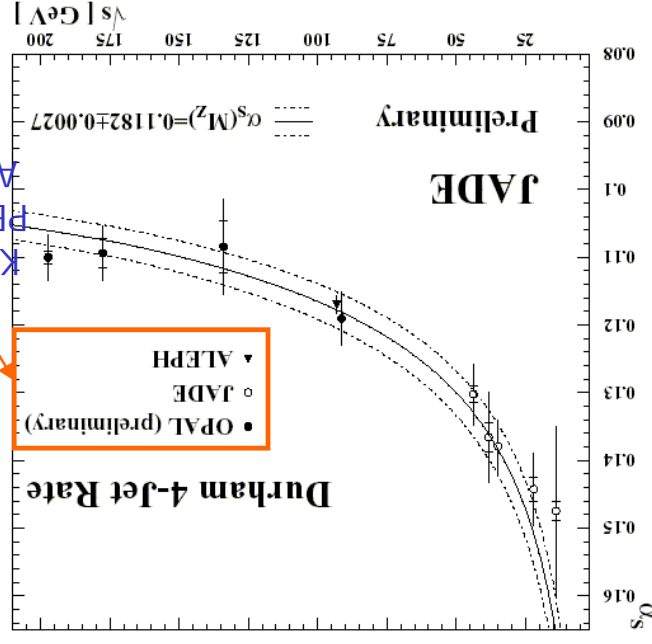
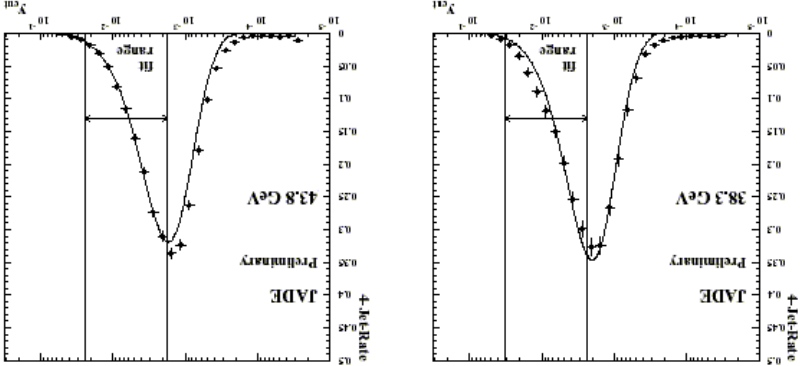
Ergebnisse JADE (PETRA):

R_4 als Funktion von \sqrt{s} für verschiedene y_{cut}



Theorie (Kurven) hängen von α_s ab \rightarrow Anpassung (Fit) der Theorie an Daten in bestimmten Messbereichen durch Variation von α_s (\rightarrow).

Ergebnis: Kopplung als Funktion der Schwerpunktsenergie!



Kombination von PETRA und LEP!!!
Alte JADE-Daten neu belebt!!!

5.6 TIEFUNELASTISCHE ep-STREUUNG

Normalerweise "historischer" Weg:

- Rutherford mit Spin-1/2-Geschossen (elastisch)

- Spin des Targets (→ Mott-WQS)

- Ausdehnung des Targets (→ Formfaktoren,

Rosenbluth-Formel)

- Übertragung auf den inelastischen Fall

Jetzt anders:

- Das Proton hat (punktförmige) Konstituenten!

- inelastische ep-Streuung = elastische Streuung an

einem der Konstituenten.

- grosser Energieübertrag des Elektrons $v \approx E-E'$,

→ inkohärente Streuung an einzelnen "Partonen".

- Annahme: Partonen haben Spin-1/2

→ Anwendung der Erfahrung aus ep-Streuung:

$$\frac{d\sigma}{dQ^2} = \frac{4\pi\alpha^2}{Q^2} \left(1 - \frac{s}{Q^2} + \frac{s^2}{2s^2} \right)$$

$$\alpha = \frac{e^2}{4\pi}, \quad s = s - M^2$$

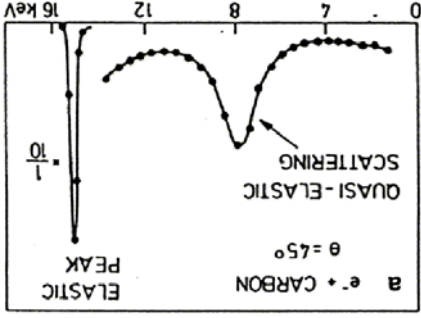
Von diesem Ausdruck ausgehend soll jetzt der WQS

der ep-Streuung abgeleitet werden.

Plausibilität der Annahme von Konstituenten (Anleihe

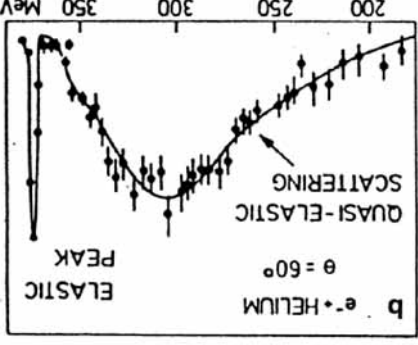
bei Atom/Kern-Physik):

Streuung von Elektronen an Atomen:



Elastische Streuung an einzelnen Hüllenelektronen

Streuung von Elektronen an Kernen:



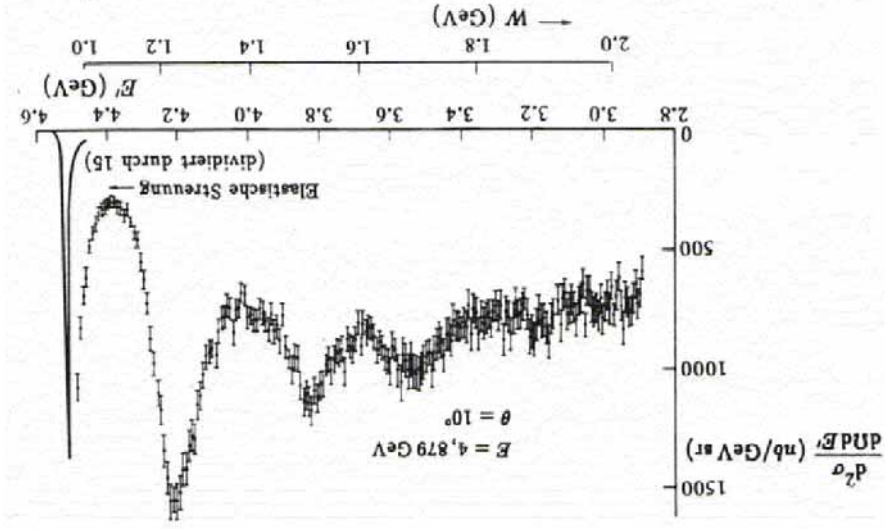
Elastische Streuung an einzelnen Kernbestandteilen (p,n)

Inelastische Streuung an ausgedehntem Objekt = elastische Streuung an Bestandteil + Fermi-

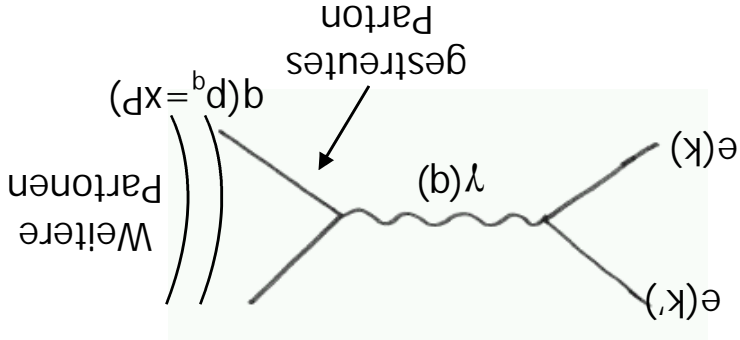
Versmierung!

5.6 TIEFUNELASTISCHE ep-STREUUNG

Anwendung auf ep-Streuung (4.9-GeV-Elektronen auf Wasserstoff-Ziel):



→ Es gibt (punktförmige) Konstituenten im Proton!
 → Modifikation des ep-Bildes (P=Impuls des Protons):



Problem: Was ist s^q ?

$$\tilde{s}^q = (k + p^q)^2 = (k + xP)^2 = k^2 + x^2 P^2 + 2xkP \approx 2xkP$$

$$s = (k + P)^2 = k^2 + P^2 + 2kP \approx 2kP$$

Also gilt: $\tilde{s}^q = xs$

Definiere W^k , Quark i im Impulsintervall x , $x+dx$ zu finden, mit $f_i(x)dx$ ("Partonverteilung") → WOS

$$\sigma^{ep} = \sum_i \sigma^{eq_i}$$

Inkohärent erfolgt:

Da die Streuung aufgrund kurzer Zeitdauer der WW

Modifikation des ep-WOS:

- Es gibt drei Konstituenten mit Spin-1/2 (Valenzquarks u,u,d).
- Ladungen: $Q_u=2/3$, $Q_d=-1/3$.
- Diese tragen Bruchteile x_i , $i=1,2,3$, $0 < x_i < 1$, des Protonimpulses.

$$\frac{d\sigma}{d\Omega} \Big|_{ep} = \frac{4\pi\alpha^2}{Q^2} \left(1 - \frac{\tilde{s}^q}{Q^2} + \frac{1}{2} \frac{\tilde{Q}_2^q}{Q^2} \right) \tilde{Q}_2^q$$

el. Quark-Ladung

Historische (aus der Hadronspektroskopie motivierte) Annahme:

5.6 TIEFUNELASTISCHE ep-STREUUNG

$$\left. \frac{d^2\sigma}{d\Omega_2 dx} \right|_{ep} = \sum_3 \left. \frac{d\tilde{\sigma}}{d\Omega_2} \right|_{eq_i} \cdot \tilde{\sigma}_2^{q_i} \cdot f_i^i(x) = \left(\frac{4\pi\alpha^2}{2} \right) \left(1 - \frac{\tilde{s}_2^q}{\tilde{s}_2^b} + \frac{1}{2} \frac{\tilde{s}_2^q}{\tilde{s}_2^b} \right) \cdot \sum_3 \tilde{\sigma}_2^{q_i} \cdot f_i^i(x)$$

Definition der Inelastizität y :

$$y = \frac{P_q}{P_k} \approx \frac{\tilde{s}_2^q}{\tilde{s}_2^b}$$

Es gilt:

$$\frac{dy}{d\tilde{\sigma}_2} = \frac{\tilde{s}_2^q}{1} \Leftrightarrow \frac{dc}{dy} = \tilde{s}_2^q \cdot \frac{d\tilde{\sigma}_2}{dc}$$

Damit folgt:

$$\left. \frac{d^2\sigma}{d^2x dx} \right|_{ep} = \left(\frac{4\pi\alpha^2}{2} \right) \left(1 - y + \frac{1}{2} y^2 \right) \cdot \sum_3 \tilde{\sigma}_2^{q_i} \cdot f_i^i(x)$$

$$= \left(\frac{4\pi\alpha^2}{2} \right) \left(1 - y + \frac{1}{2} y^2 \right) \cdot \sum_3 \tilde{\sigma}_2^{q_i} \cdot f_i^i(x)$$

Definiere^(*): Strukturfunktionen $F_{1,2}$:

$$F_2(x) \equiv x \cdot \sum_i \tilde{\sigma}_2^i \cdot f_i^i(x)$$

$$F_2(x) = 2xF_1(x)$$

Dann:

$$\left. \frac{d^2\sigma}{dy dx} \right|_{ep} = \frac{4\pi\alpha^2}{2} \left(\frac{\tilde{\sigma}_2}{2} \right) \left((1-y)F_2(x) + xy^2F_1(x) \right)$$

Anmerkungen: (*) Wenn man den Wirkungsquerschnitt der elastischen ep-Streuung mit den Formfaktoren $W_{1,2}$ betrachtet, dann kann man Formgleichheit zwischen elastischer und inelastischer Streuung mit diesen Definitionen erreichen. Dabei entsprechen $W_{1,2}$ den Termen der elektrischen und magnetischen WW. Das sieht man schon im Elektron-Myon-WQS:

$$\sigma_{\infty} \left(1 + \frac{2M^2}{2} \tan^2 \frac{\theta}{2} \right)$$

- Die Bedingung $F_2(x) = 2xF_1(x)$ heißt Callan-Gross-Beziehung.

Sie gilt nur für Spin-1/2-Partonen. Im Falle von Spin-0-Teilchen wäre $F_1=0$ (keine Spin-WW).

- Es gilt: $F_2(x) \propto \sum_i \tilde{\sigma}_2^i$

F_2 beschreibt also "nur" die elektrische Struktur des Protons. In voller Rechnung mit schwacher WW und

Interferenzen treten weitere Strukturfunktionen auf (F_3), die auch schwache Anteile beschreiben.

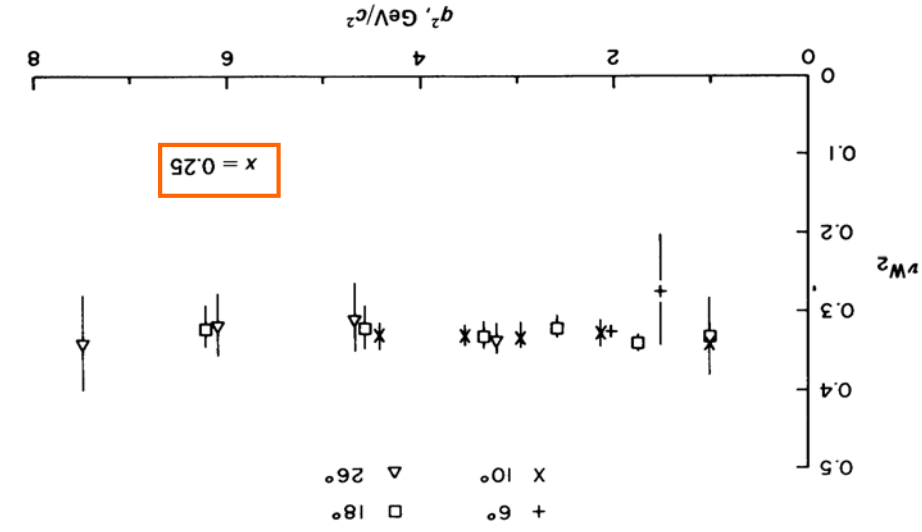
- Prozess vollständig beschrieben durch x, y, Q^2 (s,t,u). F_2 hängt aber nur von x ab ("Scaling" – Skalenverhalten –

auf jeder Größenskala sieht Struktur gleich aus –

Struktur hängt nur von dimensionsloser Variable x ab). F_2 unabhängig von Auflösungsvermögen der Photonsonde Q^2 . Grund: "Es gibt nur drei Quarks im Proton".

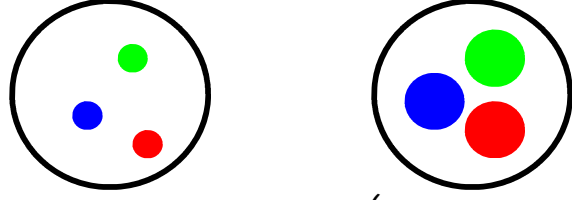
5.6 SCALING VON $F_2 = F_2(x)$

Anmerkung: $w_2 \sim F_2$.



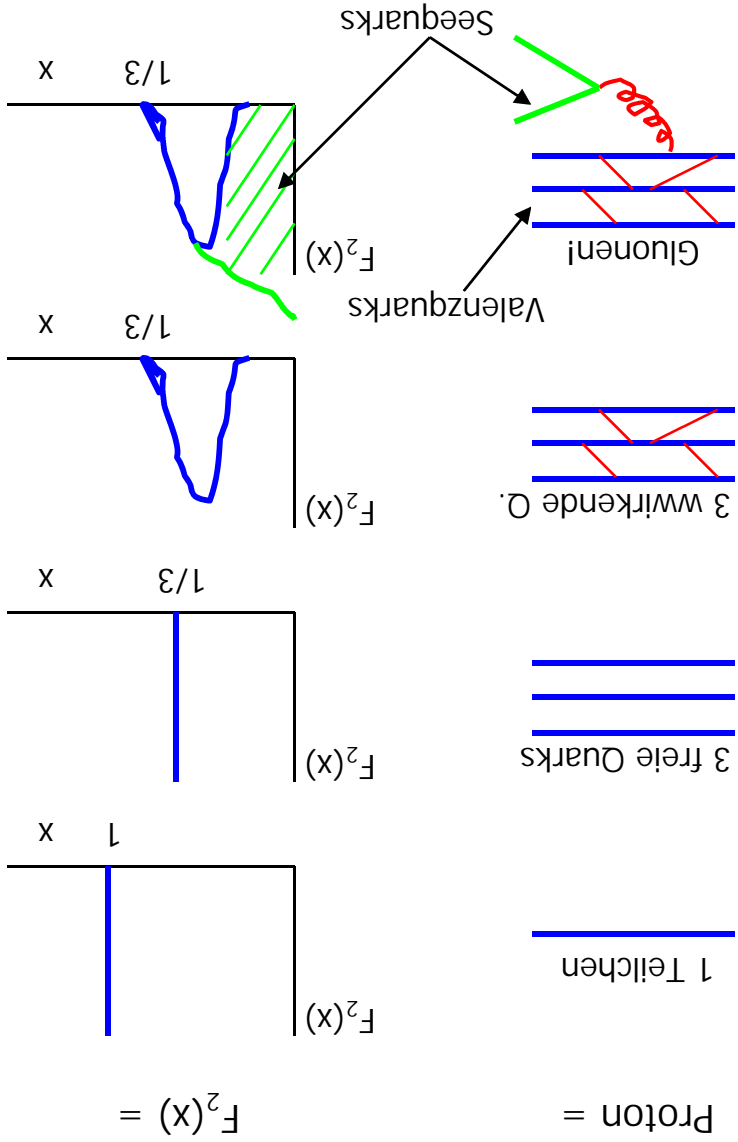
Für diese frühen Messungen der Strukturfunktion in fixed-target-Experimenten zeigte sich also wirklich das Skalenverhalten im Bereich $x=0.25$!

Erklärung: Unabhängig von Auflösung (Wellenlänge des Photons $\lambda \sim 1/Q$)

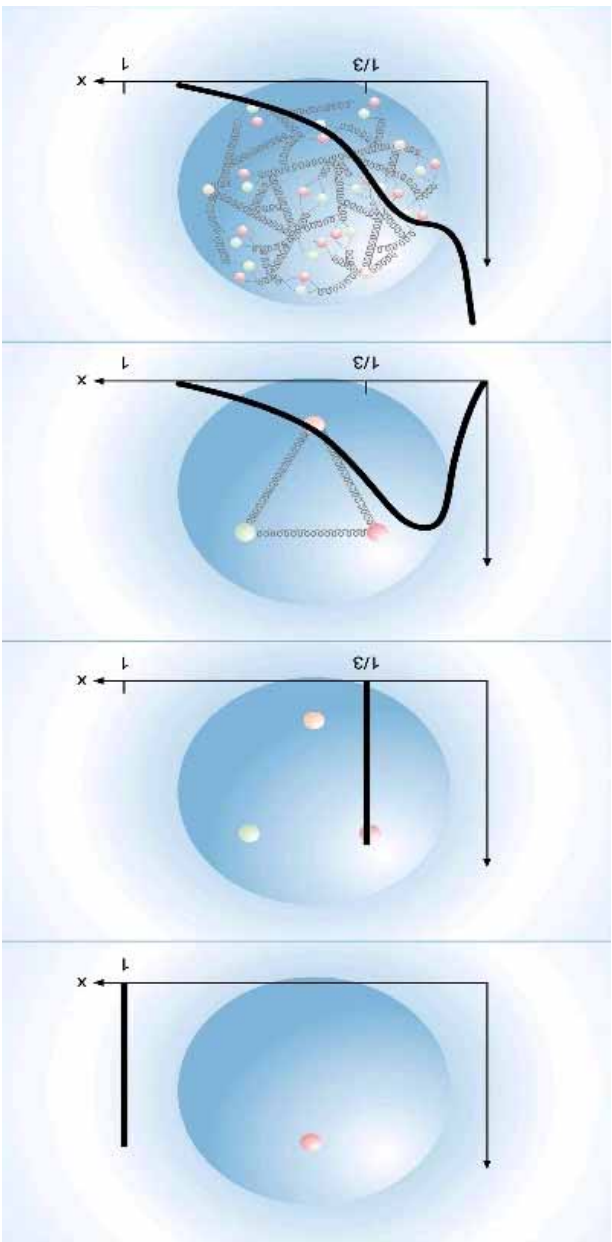


Hohe Auflösung Niedrige Auflösung

Beide Male genau 3 Quarks! (in diesem Q^2/x -Bereich)



5.6 SCALING VON $F_2 = F_2^2(x)$

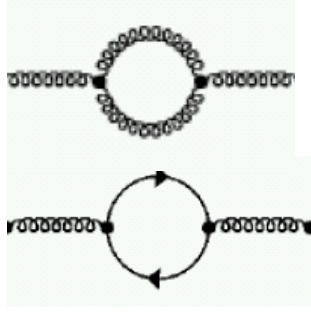


Skalenverletzung!

5.6 SKALENVERLETZUNG UND QCD

Die Existenz von Gluonen im Proton liefert Abhängigkeit von F_2 von Q^2 : $F_2 = F_2(x, Q^2)$!

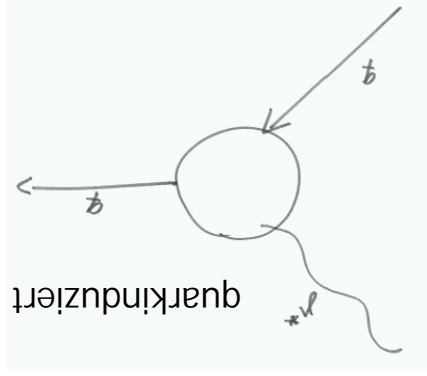
Laut Heisenberg sind virtuelle Prozesse (mit Gluonen) auf kleinen zeitlichen/räumlichen Skalen erlaubt:



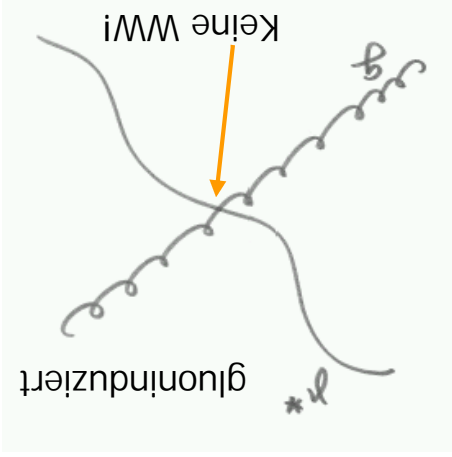
$-g \rightarrow g \rightarrow g$

$-g \rightarrow q \rightarrow g$

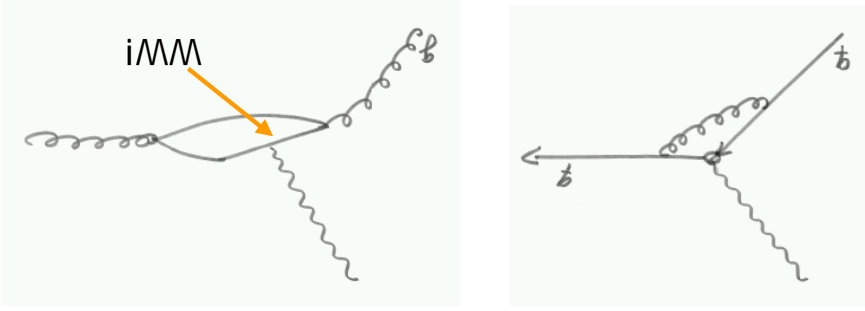
Falls kleines Q^2 , schlechte Auflösung, nur grosse Strukturen sichtbar:



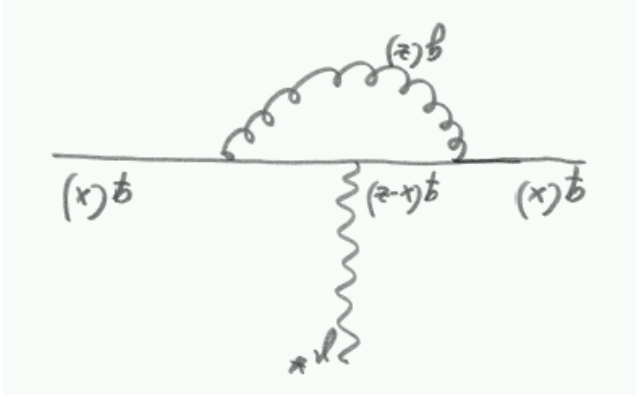
→ das Photon "sieht" nur das ursprüngliche Quark!
 → Struktur von Valenzquarks bestimmt!



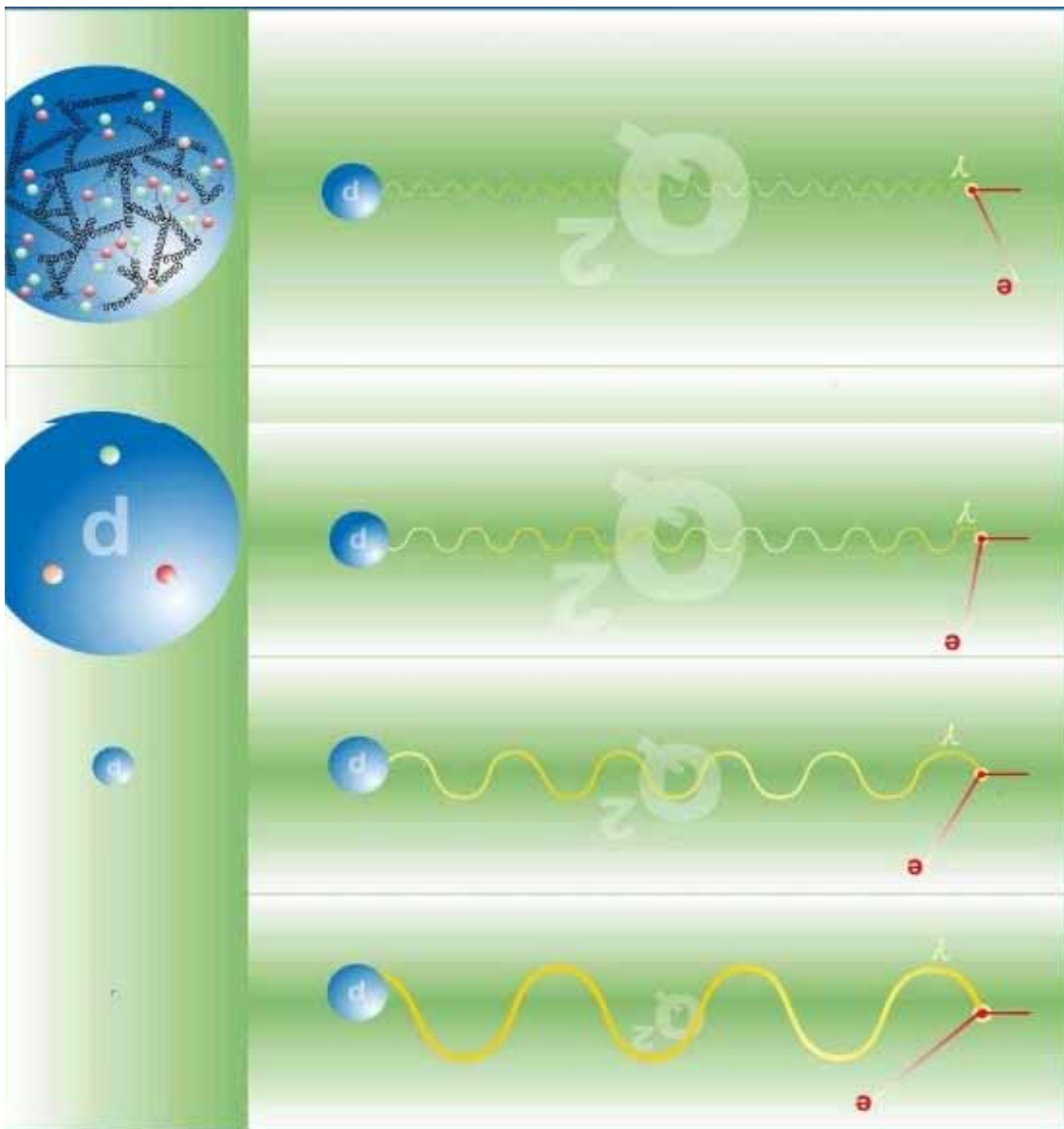
Falls hohes Q^2 , gute Auflösung, auch kleine Raum/Zeit-Strukturen auflösbar:



→ 1. Das Photon koppelt auch an das Gluon!
 2. Die Kopplung an das Quark erfolgt bei einem anderen x-Wert $z < x$:



Salopp: $F_2(x)$ sinkt falls Q^2 steigt!
 $F_2(z < x)$ steigt, falls Q^2 steigt!
 $F_2 = F_2(x, Q^2)$!!! Skalenverletzungen!



5.6 SKALENVERLETZUNG UND QCD

5.6 F_2 HEUTE (HERA)

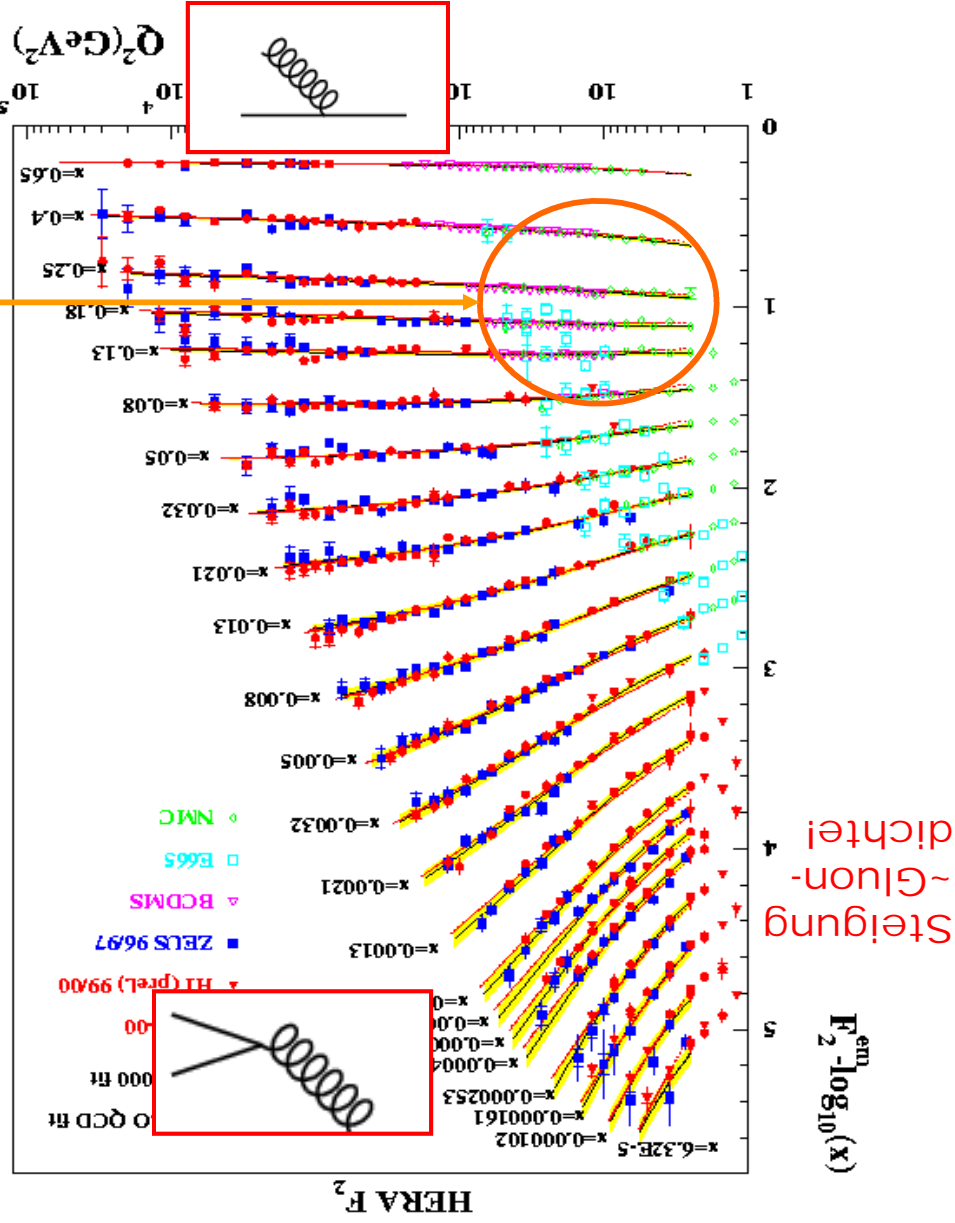
– Mehrere hundert Datenpunkte mit Genauigkeit 2%. Wunderbar von Theorie beschrieben!

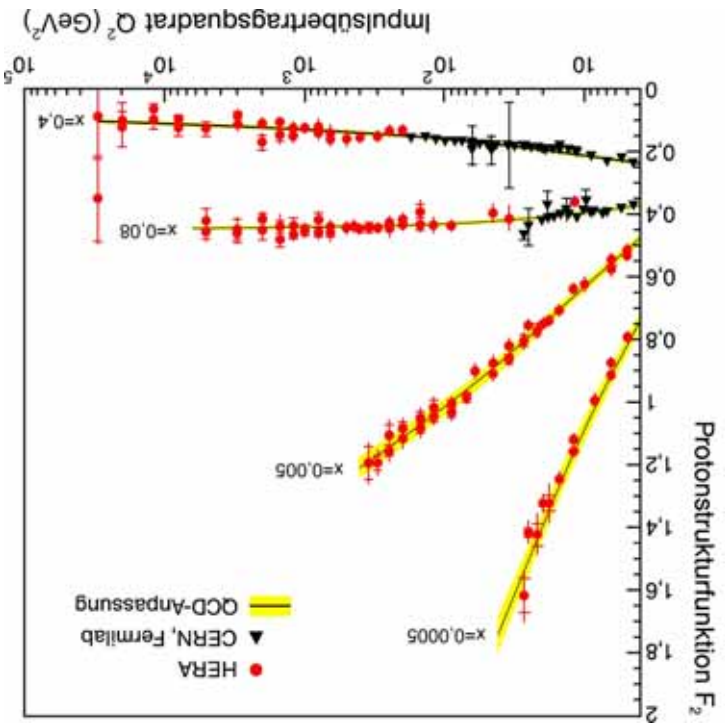
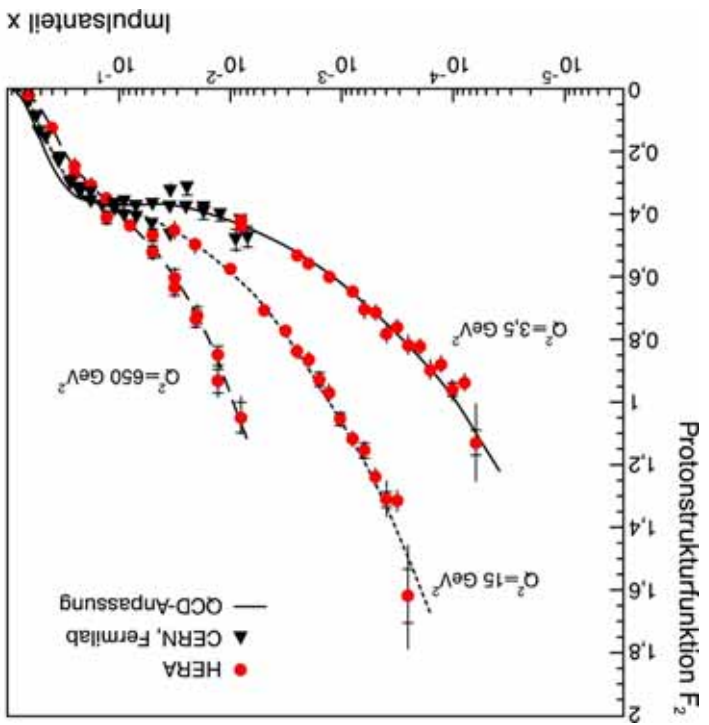
– Klare Beobachtung von Skalenverletzungen bei grossen und kleinen x !

– grosse x : Valenzquarks $q(x)$ strahlen Gluonen ab, die wiederum in q -Paare ($q'(z < x)$) zerfallen. Von diesen Paaren sieht man mit steigendem Q^2 mehr \rightarrow falls Q^2 steigt, sinkt der Anteil der Quarks mit grossem x !

– kleine x : Abgestrahlte Gluonen strahlen weitere Gluonen ab, und alle Gluonen zerfallen in Quark-Paare mit sehr kleinen x , von denen man mit steigendem Q^2 mehr und mehr sieht $\rightarrow F_2$ bei kleinen x steigt mit Q^2 an.

– Die frühen fixed-target-Experimente haben zufällig bei den x -Werten gemessen, bei denen F_2 flach in Q^2 ist.

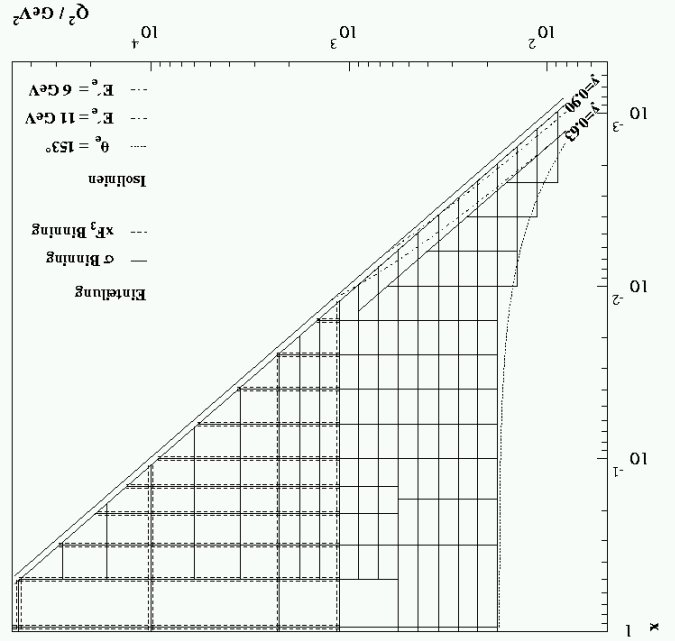




5.6 SKALENVERLETZUNG UND QCD

5.6 F₂: VORGEHEN; SKALENVERLETZUNGEN

– Unterteile x-Q₂-Ebene in "vernünftige" Bins:



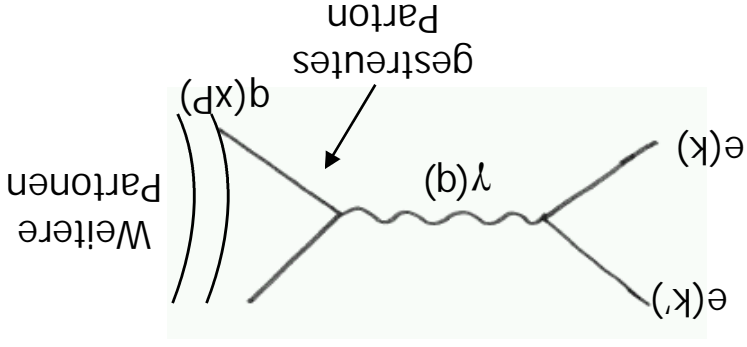
– Merke, dass bei kleinen y:

$$\frac{d^2\sigma}{d^2Q_2 dx} = \frac{d^2\sigma}{2\pi\alpha^2} F_2(x, \tilde{Q}_2)$$

– Also:

$$F_2(x, \tilde{Q}_2) \approx \left(\frac{2\pi\alpha^2}{x \tilde{Q}_2^2} \right)^{-1} \frac{d^2\sigma}{d^2Q_2 dx}$$

x, Q₂ gemessen!
Zählen!



Zur Kinematik der ep-Streuung ...

... kriegen Sie eine kleine Aufgabe ...

$$y = \frac{Pq}{Pk}$$

$$\tilde{Q}_2^2 = -(k' - k)^2$$

$$x = \frac{\tilde{Q}_2^2}{2Pk}$$

$$\frac{d^2\sigma}{d^2Q_2 dx} = \frac{d^2\sigma}{2\pi\alpha^2} F_2(x, \tilde{Q}_2)$$

5.6 F₂: SKALENVERLETZUNGEN

Verhalten von F₂ mit Q² (halb)quantitativ:

- Betrachte Änderung der Dichte von Quarks

q(x, Q²) mit Impulsbruchteil x bei kleiner

Änderung von Q² → Q² + dQ². (z > x)). Man sieht

etwas mehr von Prozessen wie

$$n(z) + g(z - x)$$

$$g(z) \leftarrow n(x) + \bar{n}(z - x)$$

- z kann Werte zwischen x und 1 haben:

$$\int_1^x \frac{dz}{z}$$

- Damit kann man zeigen, dass:

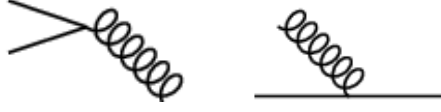
$$\partial n(x, \bar{Q}_2) = \alpha_s(\bar{Q}_2) \int_1^x \frac{2\pi}{z} \left[P^{bb} \left(\frac{z}{x} \right) n(\bar{Q}_2) + P^{gb} \left(\frac{z}{x} \right) g(\bar{Q}_2) \right] \partial \ln \bar{Q}_2$$

Kopplung

Spaltung-Funktionen

(pQCD): Wichtig, dass Parton mit z abstrahlt. Parton mit x abstrahlt.

Änderung von u bei x proportional zur Dichte der Quarks/Gluonen, die abstrahlen können.



- Unter der Annahme von nur u,d-Quarks (ist einfacher) und mit

$$F_2^z(x, \bar{Q}_2) \equiv x \cdot \sum_i \bar{Q}_2^i \cdot f_i^z(x, \bar{Q}_2)$$

$$= x \cdot \left(\frac{6}{4} n(x, \bar{Q}_2) + \frac{6}{4} \bar{n}(x, \bar{Q}_2) + \frac{6}{1} d(x, \bar{Q}_2) + \frac{6}{1} \bar{d}(x, \bar{Q}_2) \right)$$

folgt für F₂:

$$\frac{\partial \ln \bar{Q}_2}{\partial F_2^z(x, \bar{Q}_2)} = \frac{2\pi}{\alpha_s(\bar{Q}_2)} \cdot \int_1^x \frac{dz}{z} \left[P^{bb} \left(\frac{z}{x} \right) F_2^z(x, \bar{Q}_2) + 2z P^{gb} \left(\frac{z}{x} \right) g(\bar{Q}_2) + \sum_i \bar{Q}_2^i \right]$$

Man kann zwei Grenzfälle isolieren: für z > x verschwindet →

$$\frac{\partial \ln \bar{Q}_2}{\partial F_2^z(x, \bar{Q}_2)} \approx \frac{2\pi}{\alpha_s(\bar{Q}_2)} \int_1^x \frac{dz}{z} P^{bb} \left(\frac{z}{x} \right) F_2^z(x, \bar{Q}_2)$$

- kleine x: Gluondichte dominiert das Proton →

$$\frac{\partial \ln \bar{Q}_2}{\partial F_2^z(x, \bar{Q}_2)} = \frac{2\pi}{\alpha_s(\bar{Q}_2)} \int_1^x \frac{dz}{z} 2z P^{gb} \left(\frac{z}{x} \right) g(\bar{Q}_2) + \sum_i \bar{Q}_2^i$$

5.6 PARTONVERTeilUNGEN AUS F_2

Typische Parametrisierungen der Abhängigkeit von F_2 Ergebnis (Beispiel):
 von den Partonverteilungen $f_i(x, Q^2)$:

$$q^v = A \cdot x^B \cdot (1-x)^C \cdot (1-Dx)$$

$$q^s = E \cdot x^F \cdot (1-x)^G \cdot (1+Hx + Ix^2 + Jx^3)$$

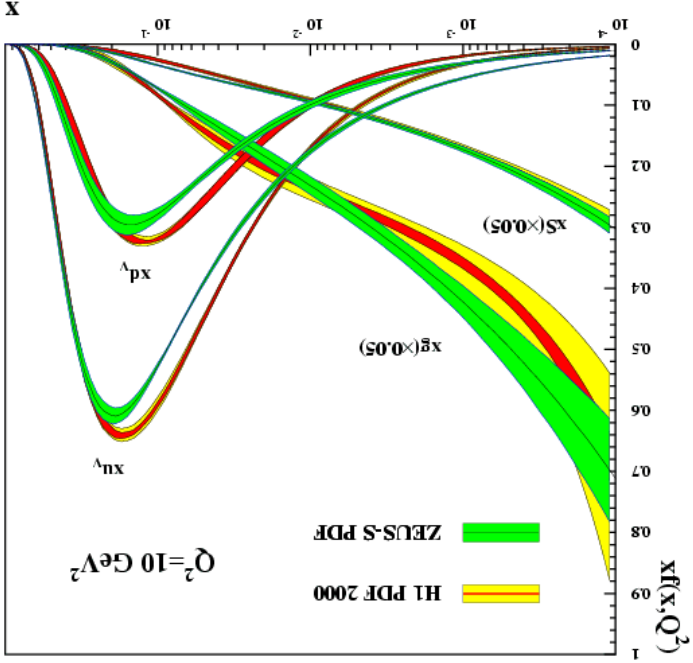
Durch Variation der Parameter kann die Vorhersage von F_2 an die Daten angepasst werden. Der optimale Parameteransatz liefert dann die Partonverteilungen (PDFs) des Protons.

(Anmerkung: Der theoretische Ansatz verlangt, dass die PDFs bei einer kleinen Startskala Q_0^2 angenommen und dann mithilfe der Evolutionsgleichungen zu hohen Skalen $Q^2 > Q_0^2$ entwickelt werden.)

Probleme:

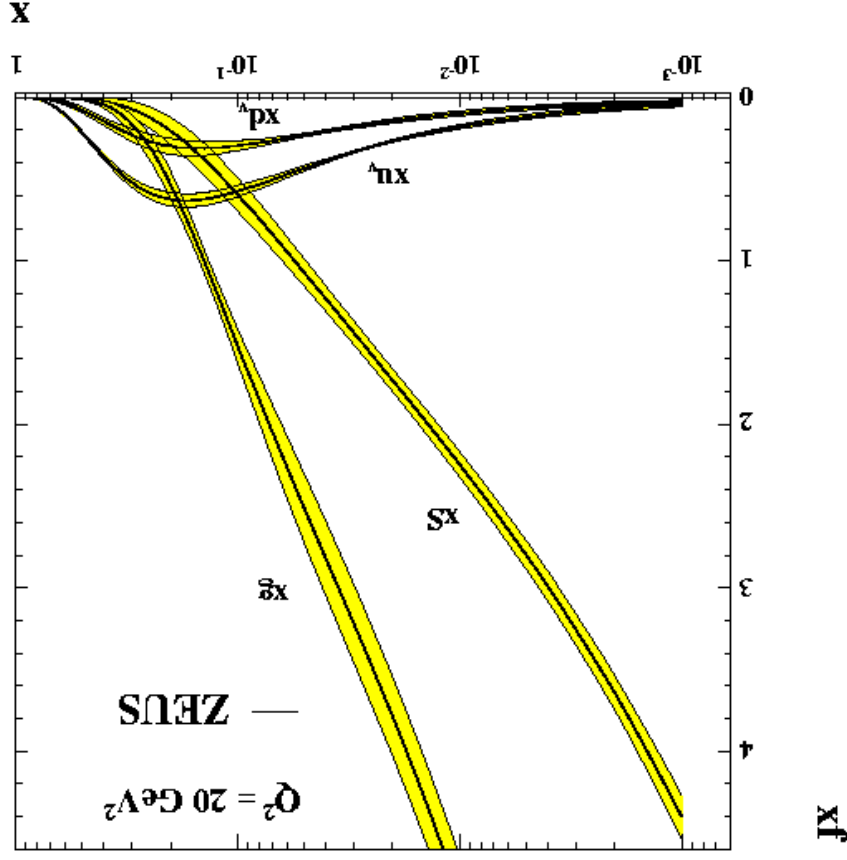
- Anzahl der Parameter gross!
- Auswahl der Datensätze (fixed-target, Neutrino, Myon, HERA, Dreil-Yan etc.).
- Abschätzung der Unsicherheiten.
- ...

- Unterschiede durch verschiedene Datensätze und verschiedene Parametrisierungen.
 - Verschiedene Gruppen: CTEQ, MRST, Alekhin, H1, ZEUS
 - Unsicherheiten von wenigen Prozent (u bei moderaten x) bis 100% (g bei hohen x)
- ← Problem für LHC!

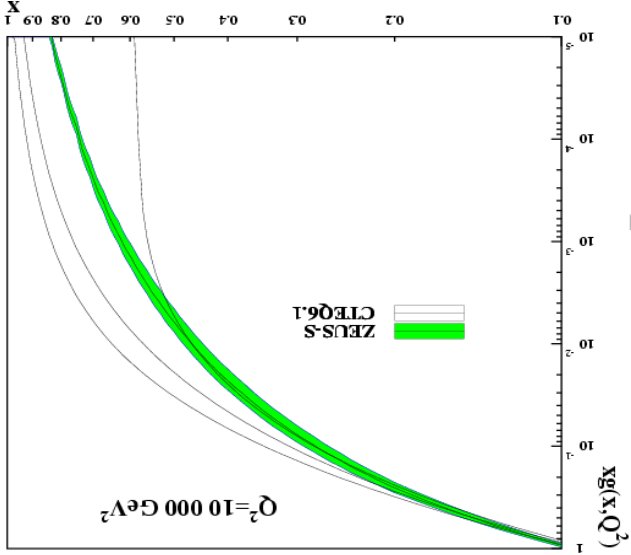


5.6 PARTONVERTeilUNGEN AUS F_2

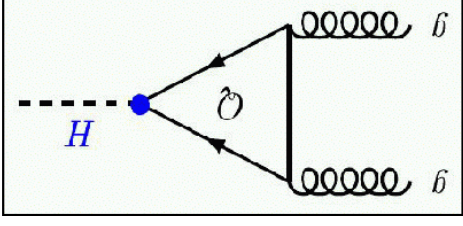
“Ehrlichere” Darstellung: Man beachte das starke Ansteigen des Sees und der Gluonen zu kleinen x hin!



Zur Unsicherheit der Gluondichte:



Relevanz für z.B. Higgs-Produktion bei LHC?



5.6 α_s IN SKALENVERLETTZUNGEN VON F_2

Erinnerung: Strukturfunktion F_2 :

$$\sigma^{ep} \propto F_2(x, \bar{Q}^2) \approx x \sum_{i=q, \bar{q}} f_i(x, \bar{Q}^2) \cdot q_i^2$$

Steigung

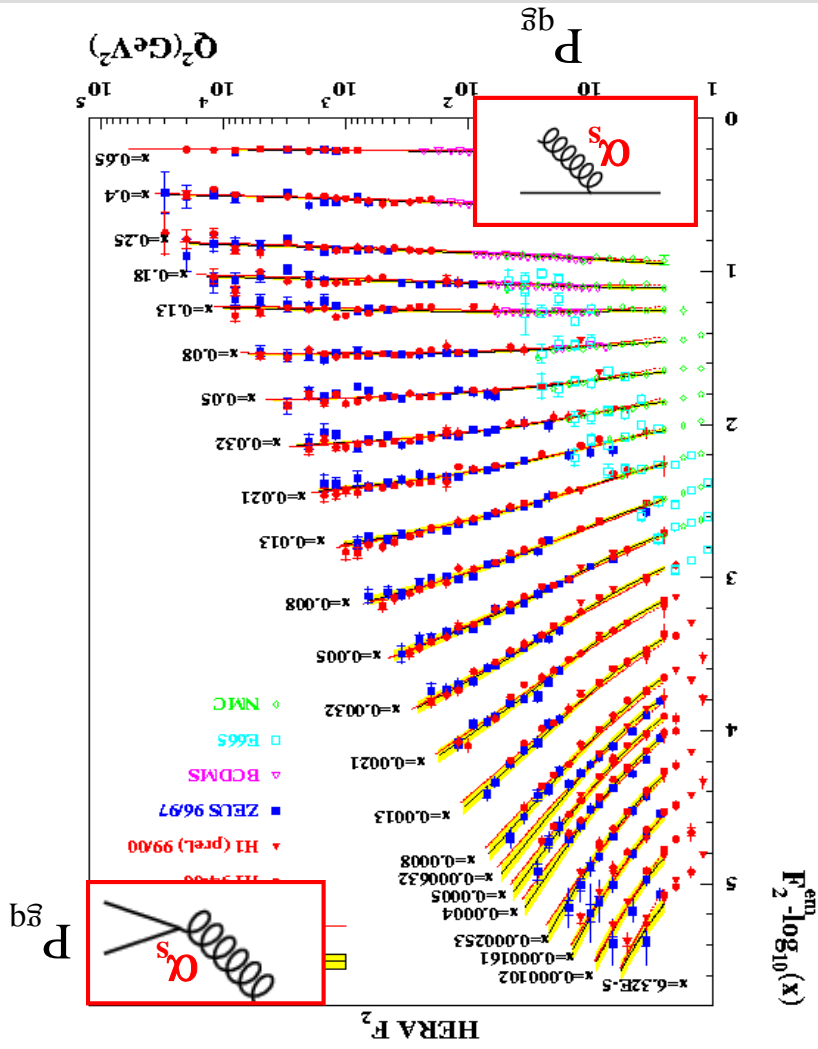
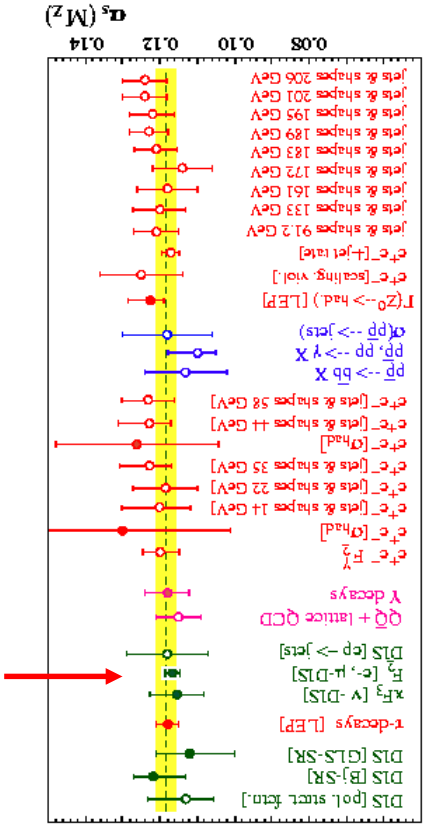
$$\frac{d \ln \bar{Q}^2}{dF_2(x, \bar{Q}^2)} \propto -\alpha_s \cdot P^{qg} \cdot F_2(x, \bar{Q}^2) + \alpha_s \cdot P^{gg} \cdot g(x, \bar{Q}^2)$$

Wiederholung Theorie:

Bei bekannter Strukturfunktion F_2 (und ihrer

Ableitung), bekannter Gluondichte g und bekannten Spaltung-Funktionen P kann $\alpha_s(\bar{Q}^2)$ extrahiert werden (beachte: \bar{Q}^2 ist einzige harte Skala im Prozess).

Ergibt einen sehr genauen Wert für die starke Kopplung!



5.6 QPM UND SUMMENREGELN

Umbenennung: $u(x)dx, d(x)dx$ etc. ist

Wahrscheinlichkeit, ein u,d-Quark mit Impulsanteil x

zu finden.

Wir unterscheiden Valenzquarks und und Seequarks

aus Fluktuationen: uu, dd, ss, ... Damit und den als

bekannt angenommenen Quarkladungen kann man

die Strukturfunktion des Protons F_2^{ep} schreiben als:

$$F_{ep}^2(x) = x \left\{ \frac{4}{9} [u(x) + \bar{u}(x)] + \frac{6}{9} [d(x) + \bar{d}(x) + s(x) + \bar{s}(x)] \right\}$$

Annahme von Isospin-Invarianz ergibt beim Übergang

zum Neutron:

$$u_u(x) = d_d(x) \equiv d(x), \quad d_u(x) = u_d(x) \equiv u(x)$$

$$s_u(x) = s_d(x) \equiv s(x)$$

Also:

$$F_{ep}^2(x) = x \left\{ \frac{4}{9} [d(x) + \bar{d}(x)] + \frac{6}{9} [u(x) + \bar{u}(x) + s(x) + \bar{s}(x)] \right\}$$

Integration über x ergibt einige "Summenregeln":

$$\int_0^1 dx \left\{ \frac{3}{2} [d(x) + \bar{d}(x)] - \frac{3}{1} [u(x) + \bar{u}(x)] \right\} = 0 \quad (n)$$

$$\int_0^1 dx \left\{ \frac{3}{2} [u(x) + \bar{u}(x)] - \frac{3}{1} [d(x) + \bar{d}(x)] \right\} = 1 \quad (d)$$

5.6 QPM UND SUMMENREGELN

Addition/Subtraktion dieser beiden Gleichungen:

$$\int_0^1 dx [u(x) - \bar{u}(x)] = 2 \quad \int_0^1 dx [d(x) - \bar{d}(x)] = 1$$

Da das Proton die Strangeness 0 hat muss gelten:

$$\int_0^1 dx [s(x) - \bar{s}(x)] = 0$$

Interessant: Impulssummenregel:

$$\int_0^1 dx \cdot x \cdot \left\{ u(x) + \bar{u}(x) + d(x) + \bar{d}(x) + s(x) + \bar{s}(x) \right\} = 1 - \epsilon$$

Laut QPM sollte $\epsilon = 0$ sein. Vernachlässigung von s:

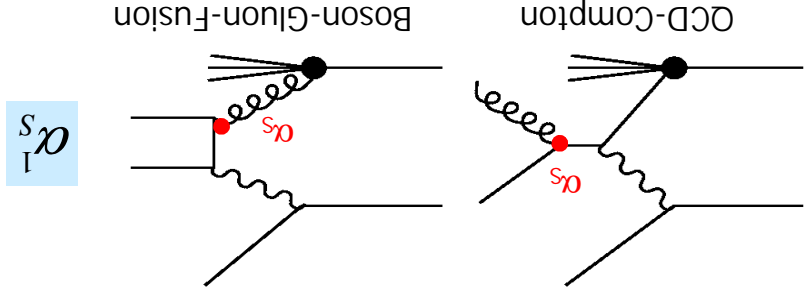
$$F_{ep}^2 = \frac{1}{2} (F_{ep}^2 + F_{en}^2) = \frac{18}{5} [u(x) + \bar{u}(x) + d(x) + \bar{d}(x)]$$

$$\frac{18}{5} \int_0^1 F_{en}^2 dx = 1 - \epsilon$$

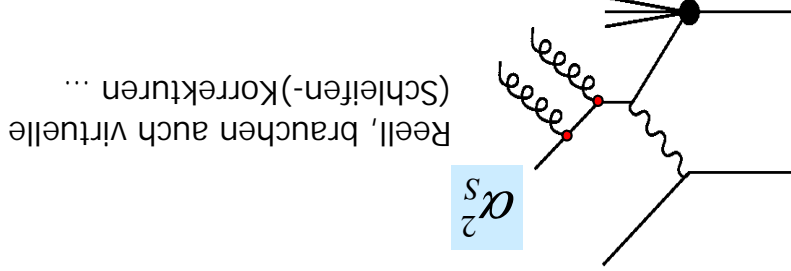
Experimentell: Wert des Integrals ca. 0.5! Den restlichen Impuls tragen die Gluonen! Da sie elektrisch neutral sind, tragen sie nicht zur EM-Struktur (also zu F_2) bei.

5.5a α_S AUS JETS IN DIS

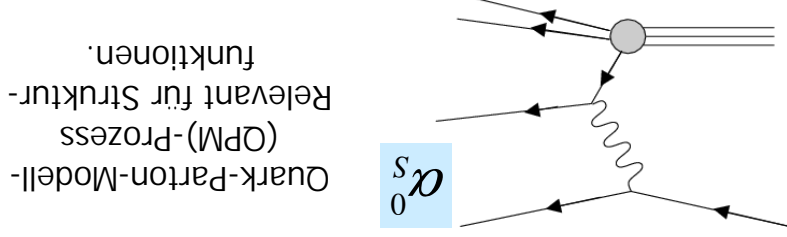
Wir betrachten folgende Prozesse in ep-Streuung



... und die Korrekturen höherer Ordnungen:



„Uninteressant“ hingegen ist:



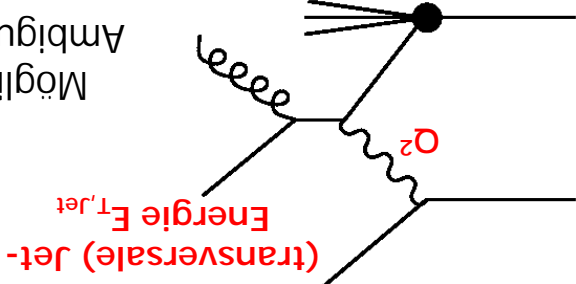
Wirkungsquerschnitt: Reihenentwicklung in α_S :

$$\sigma = \sum_{n=1}^{\infty} \alpha_S^n \cdot C_n = \alpha_S^1 \cdot C_1 + \alpha_S^2 \cdot C_2$$

NLO=niedrigste (nulle)+erste Ordnungen
 Beitrag n=0 liefert kein α_S . Experimentell: Breit-Bezugssystem! berechenbar (später)

- Vier wichtige Fragen:
1. Was ist die relevante Skala μ für α_S ?
 2. Wie kann man die Prozesse der Ordnung α_S^0 ausschliessen (wenn man will)?
 3. Was sind die Koeffizienten C_n (später)?
 4. Wie sehen solche Ereignisse im Detektor aus?

Zu 1.) Relevante Skala: Wähle hohe Energieskala, bei der der harte Prozess abläuft.



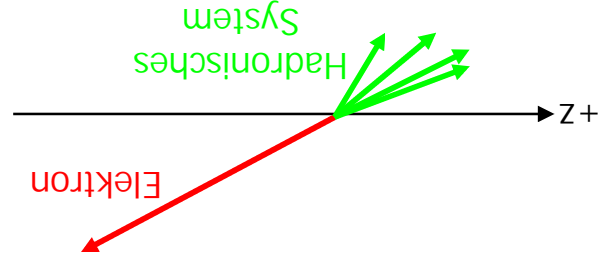
Möglichkeiten: Q_2, E_2^{\perp}
 Ambiguität – theo. Fehler!

5.5a α_s AUS JETS IN DIS: E_T , BREIT-SYSTEM

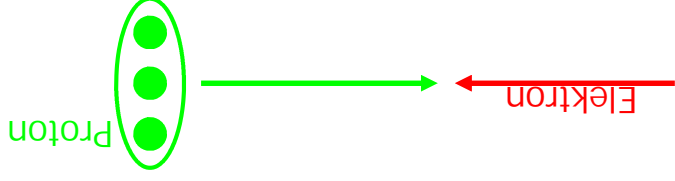
Zu 2.) Warum betrachtet man bei Hadron-Collidern wie HERA oder Tevatron immer die transversale Energie E_T ?
 - Im Anfangszustand ist die Summe der Transversalenergien = 0:



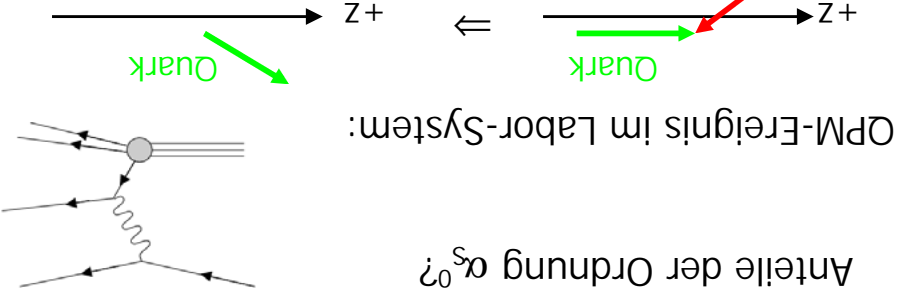
- Nach der Wechselwirkung gibt es Impulse senkrecht zur z-Achse (z.B. gestreutes Elektron) - diese charakterisieren also die Wechselwirkung!



- Aber man weiss nicht, welcher Bruchteil der (rein longitudinalen) Protonenergie in die Wechselwirkung floss (Quark-Bild!) - die Schwerpunktsenergie ist letztlich unbekannt!

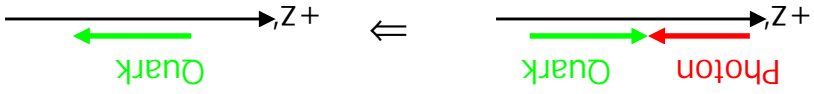


Noch zu 2.) Wie unterdrücke ich experimentell die Anteile der Ordnung α_s^0 ?



→ das Quark (= der Jet) hat Transversalimpuls!

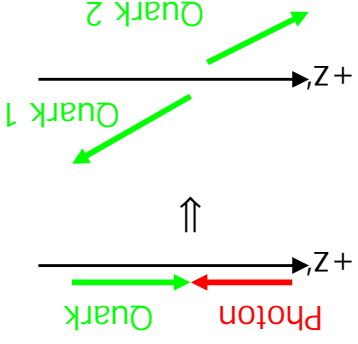
Jetzt Lorentz-Boost so, dass Photon und Quark auf der z'-Achse liegen:



Breit-Bezugssystem ("brickwall system"):

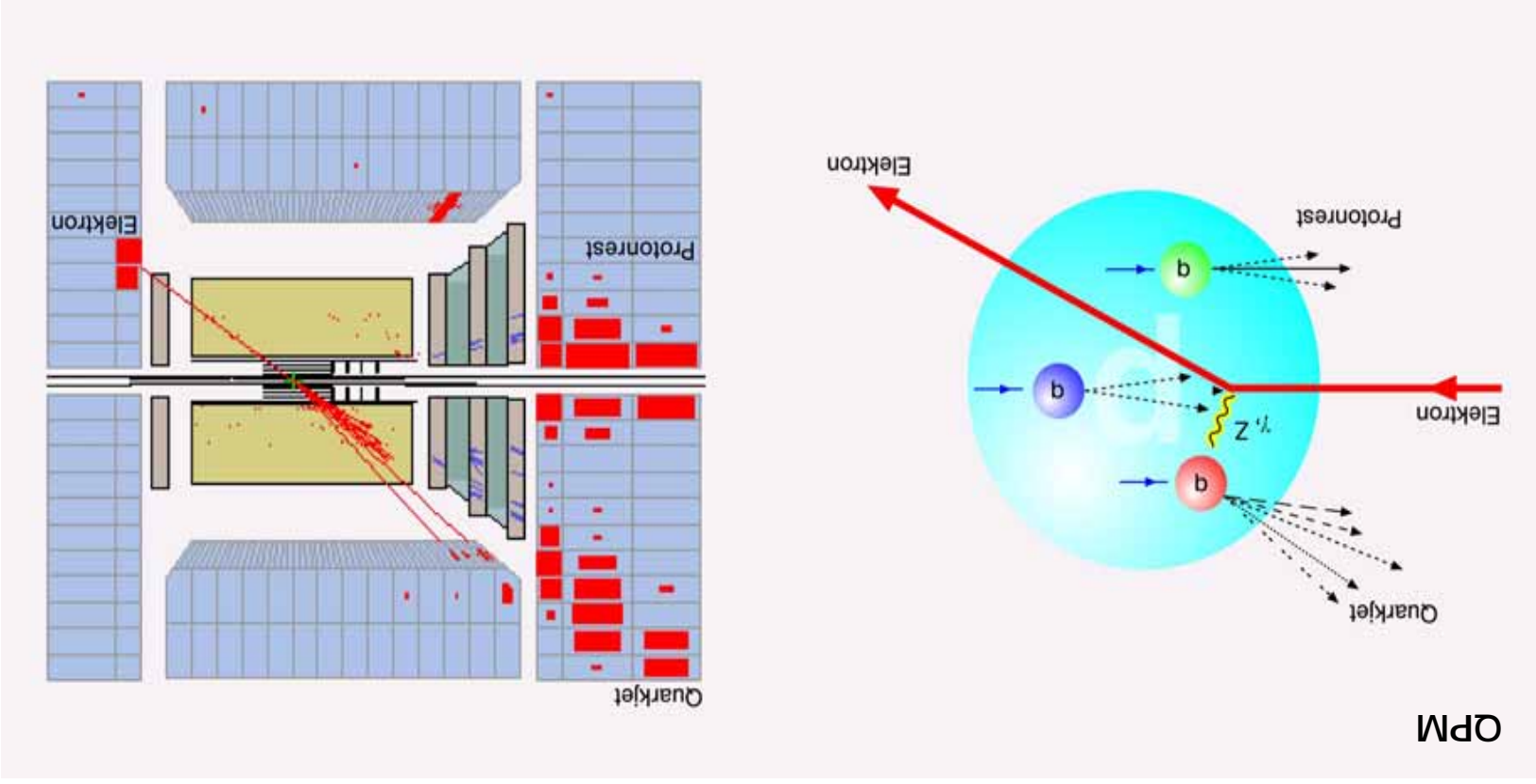
$$2x\vec{P} + \vec{q} = 0$$

QPM-Ereignisse geben KEINEN hadronischen (Jet)-Transversalimpuls relativ zu z' → E_T -Cut selektiert also "QCD"-Ereignisse (QCDC, BGF), denn:



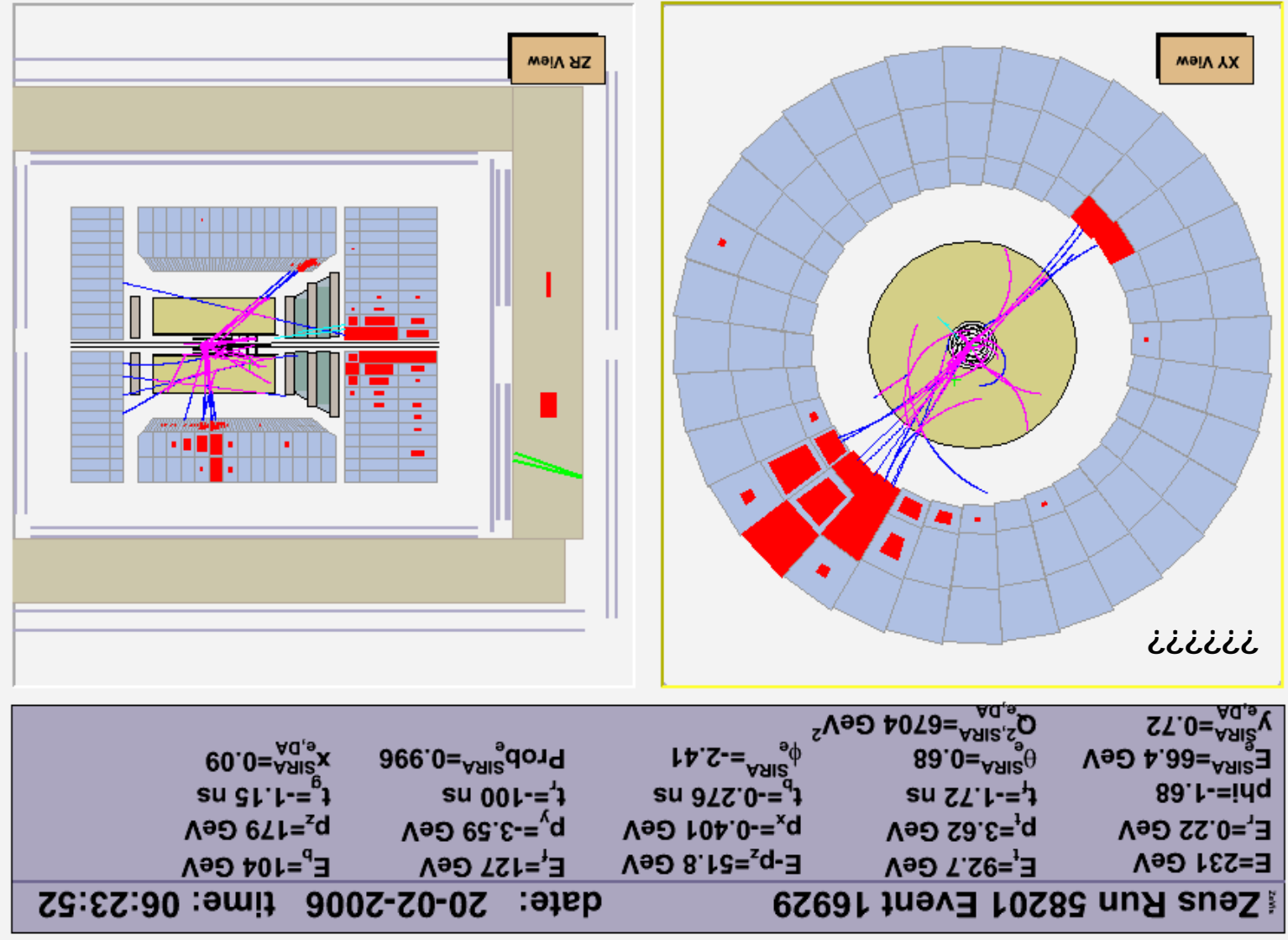
5.5a α_S AUS JETS IN DIS: EREIGNISSE

Zu 4.) Wie sehen solche Ereignisse im Detektor aus?



5.5a α_s AUS JETS IN DIS: EREIGNISSE

Zu 4.) Wie sehen solche Ereignisse im Detektor aus?

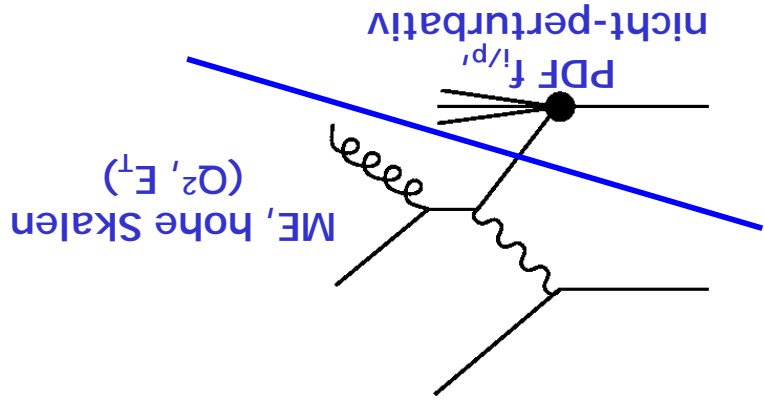


5.5a α_S AUS JETS IN DIS

Zu 3.) Was sind die Koeffizienten C_n ?

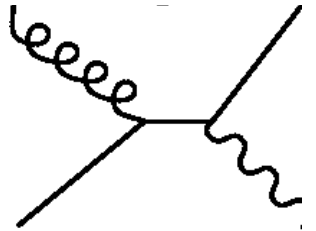
$$\sigma = \sum_{n=1}^{\infty} \alpha_S^n \cdot C_n = \sum_{n=1}^{\infty} \alpha_S^n \cdot PDF \otimes ME$$

Partonverteilungen
 Faltung
 Matrixelement
 (WQS) der Parton-
 Parton-Steuerung
 Faltung der "weichen" Anteile (PDF) und der harten
 (ME) \rightarrow Prinzip der Faktorisierung!



$$\sigma = \sum_{n=1}^{\infty} \alpha_S^n \cdot C_n = \sum_{n=1}^{\infty} \alpha_S^n \cdot PDF \otimes ME = \sum_{n=1}^{\infty} \alpha_S^n \cdot \sum_{i=1}^i f_{i/p} \otimes \sigma_{i,n} = \sum_{n=1}^{\infty} \alpha_S^n \cdot \int dx f_{i/p} \sigma_{i,n}$$

Salopp gesagt: Man kann beweisen
 (Faktorisierungstheoreme), dass man nur
 - ME berechnen muss
 (leicht in pQCD, hängt von
 einlaufendem Impuls x ab)



- PDFs kennen muss (z.B. aus F_2)



- und dann beides "zusammenkleben" kann, um
 zum WQS zu kommen.

Die Faktorisierungseigenschaft ist sehr
 fundamental und keineswegs selbstverständlich!



5.5a α_s AUS JETS IN DIS: EXTRAKTION

Wie wird nun die starke Kopplung gemessen?

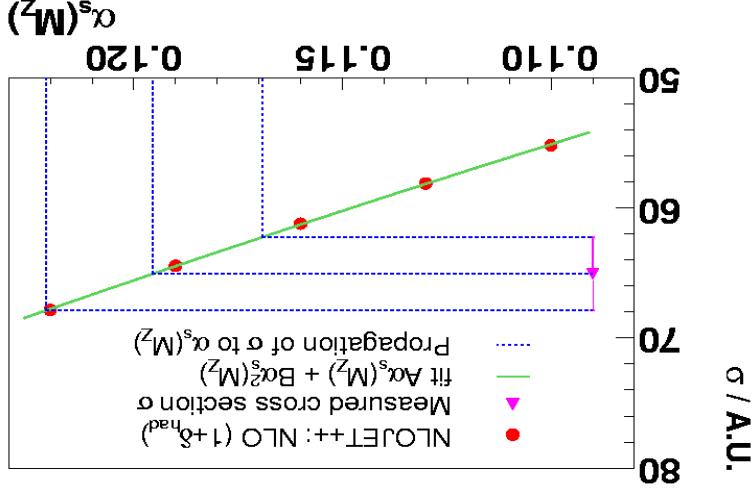
– Berechne den Wirkungsquerschnitt σ für jede Observable i als Funktion von $\alpha_s(M_Z)$.

$$\sigma_{theo}^i(\alpha_s^i(n_R^i)) = C_1 \cdot \alpha_s^i(n_R^i) + C_2 \cdot \alpha_s^i(n_R^i)^2$$

$$\sigma_{theo}^i(\alpha_s^i(M_Z^Z)) = C_1' \cdot \alpha_s^i(M_Z^Z) + C_2' \cdot \alpha_s^i(M_Z^Z)^2$$

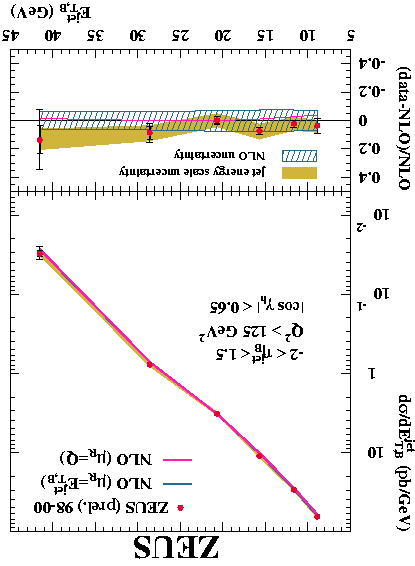
$$\alpha_s^i(\bar{Q}^2) = \frac{\alpha_s^i(M_Z^Z)}{1 + \frac{1}{12\pi}(\beta_3 - 2n_f)\alpha_s^i(M_Z^Z)\ln\frac{M_Z^Z}{\bar{Q}^2}}$$

– Interpoliere die quadratische Funktion in $\alpha_s(M_Z)$:



- Bestimme das zum gemessenen σ_{data} gehörende $\alpha_s(M_Z)$.
- Kombiniere ggf. verschiedene $\alpha_s(M_Z)$ -Werte.
- Oder evolviere zur "richtigen" Skala μ_r .

Ergebnisse solcher Analysen bei HERA:

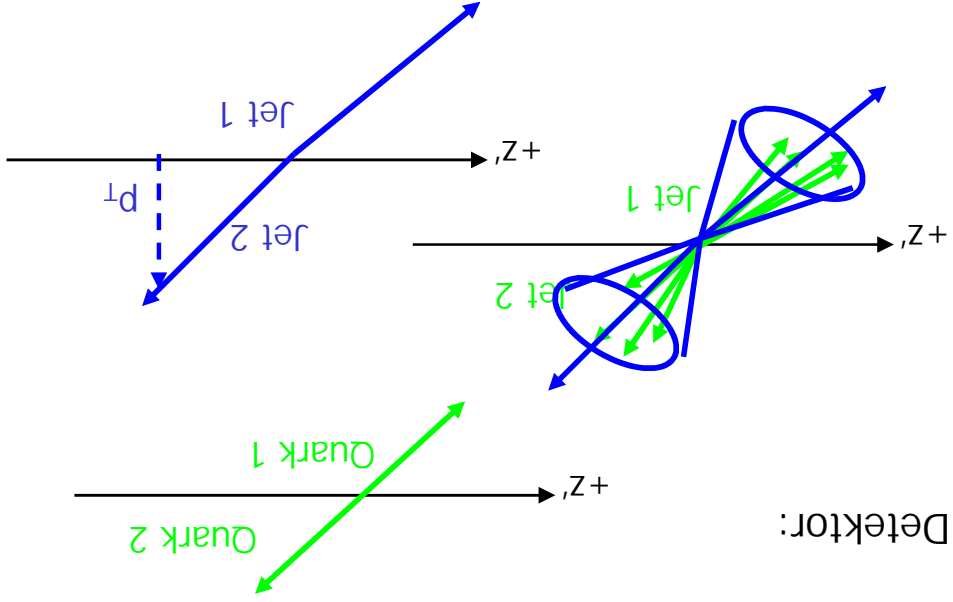


Gemessener Wirkungsquerschnitt für Produktion von 1 + Jets in einem bestimmten kinematischen Bereich.

Daten verglichen mit QCD-Rechnung in nächstführender Ordnung, NLO.

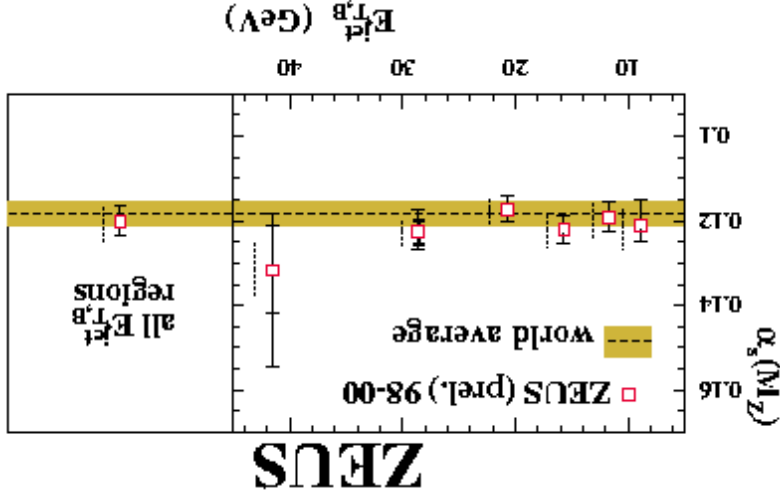
Unten: Verhältnis (Daten-NLO)/NLO
 Mass für Qualität der Beschreibung
 der Daten durch Theorie.

Detektor:

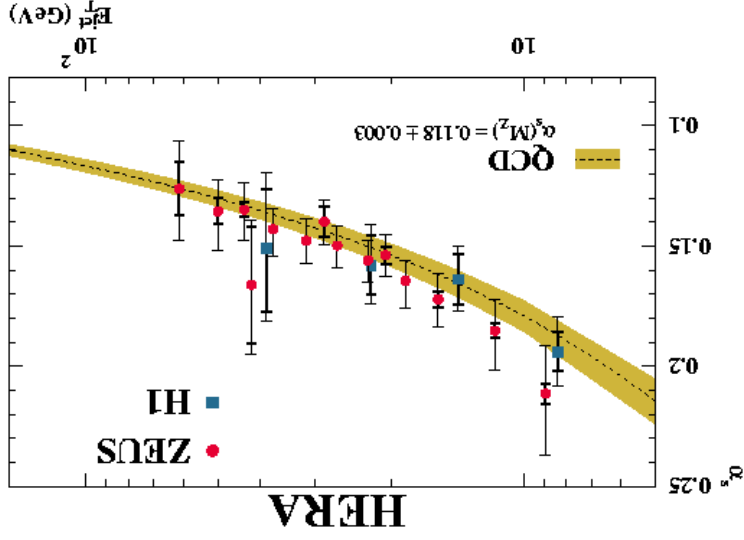


5.5a α_s AUS JETS IN DIS: EXTRAKTION

Resultierende $\alpha_s(M_Z)$ -Werte und ihre Kombination:



Evoliert zur Skala E_T :



Man sieht also:

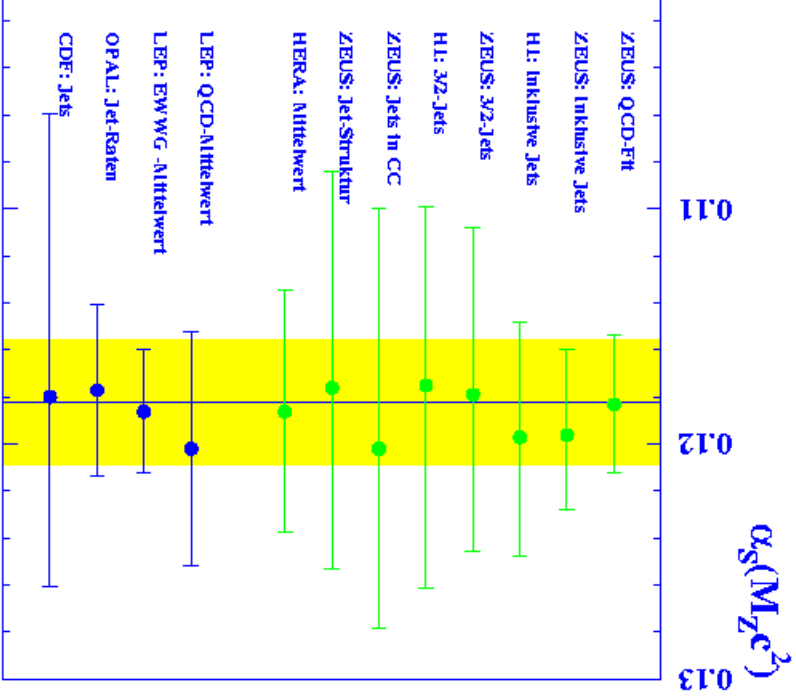
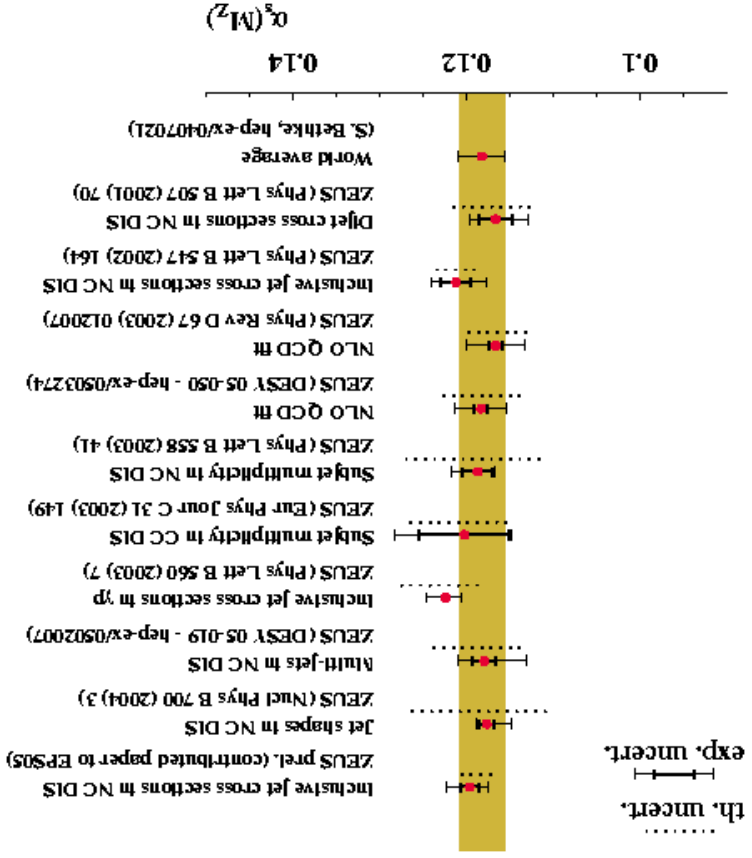
1. Die Werte verschiedener HERA-Messungen stimmen gut miteinander überein (Uffri!)
2. Die Energieabhängigkeit wird gut von der Theorie (QCD in NLO) beschrieben:

$$\alpha_s(\bar{Q}^2) = \frac{4\pi}{\beta_0 \ln \frac{V^2}{\bar{Q}^2}} \left[1 - \frac{2\beta_1}{\beta_0^2} \ln \left(\ln \frac{V^2}{\bar{Q}^2} \right) + \frac{\beta_2}{\beta_0^3} \ln^2 \left(\ln \frac{V^2}{\bar{Q}^2} \right) + \dots \right]$$

Führende Ordnung (LO)

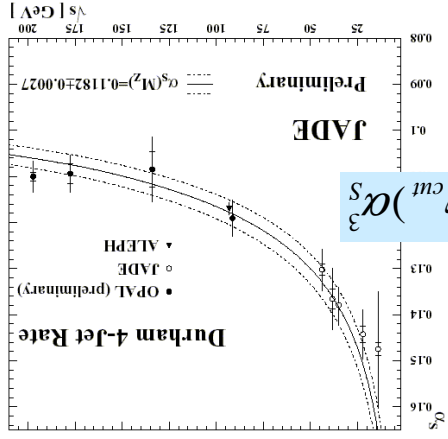
$\beta_0 = 11 - 2/3n_f$, $\beta_1 = 51 - 19/3n_f$
(Renormierungsgruppengleichung)

5.5a α_s AT HERA



ZUSAMMENFASSUNG

Paradigmatische Bestimmung der starken Kopplung in der Elektron-Positron-Vernichtung in 4 Jets:



$$R^4(y^{cut}) \propto A(y^{cut})\alpha_s^2 + B(y^{cut})\alpha_s^3$$

Tiefinelastische Streuung: Aus der Hadron-

spektroskopie motivierte Annahmen:

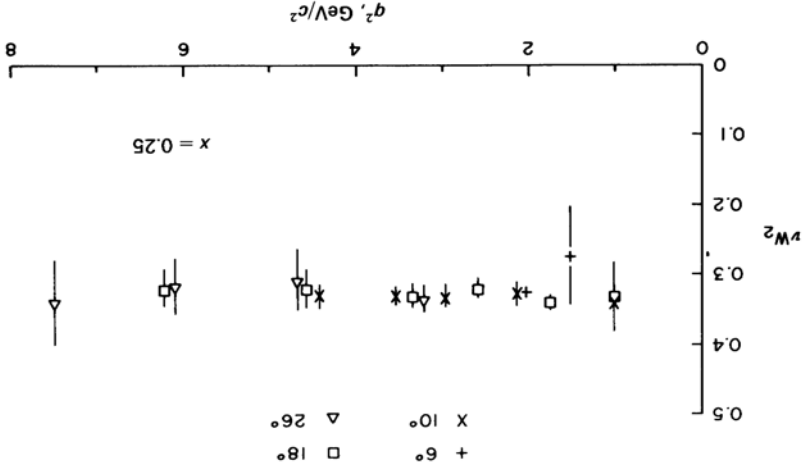
- Es gibt drei konstituenten mit Spin-1/2 (Valenzquarks u, u', d).
- Ladungen: $Q_u = 2/3, Q_d = -1/3$.
- Diese tragen Bruchteile $x_i, i = 1, 2, 3, 0 < x_i < 1$, des Protonimpulses.

Modifikation des ep-WQS:

$$\left. \frac{d\sigma}{d\Omega^b} \right|_{ep} = \frac{4\pi\alpha^2}{\Omega^2} \left(\frac{\tilde{\sigma}^b}{2} + \frac{\tilde{\sigma}^b}{\Omega^2} + \frac{\tilde{\sigma}^b}{\Omega^4} \right) \cdot \tilde{\sigma}^b$$

$$\sigma^{ep} = \sum_i \sigma^{eq_i}$$

F_2 unabhängig von Q^2 – Skalenverhalten!



$$\left. \frac{d^2\sigma}{dydx} \right|_{ep} = \frac{4\pi\alpha^2}{\Omega^2} s \left((1-y)F_2(x) + xy^2F_1(x) \right)$$

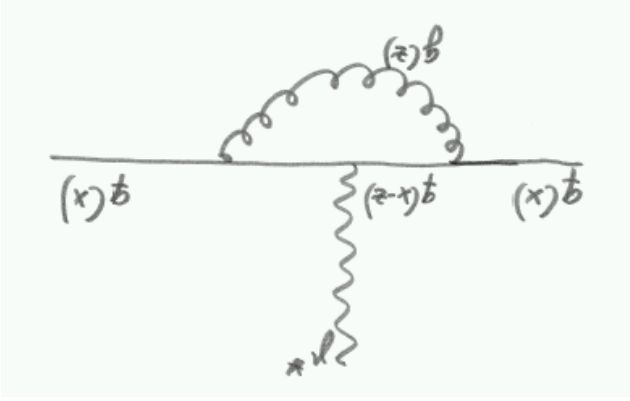
$$F_2(x) \equiv x \cdot \sum_i \tilde{Q}_i^2 \cdot f_i(x)$$

$$F_2(x) = 2xF_1(x)$$

Mit Definition der kinematischen Variablen x, y, Q^2 und der Strukturfunktionen F_2 etc.:

ZUSAMMENFASSUNG

Durch Gluonen und Quantenfluktuationen kommt es zu Skalenverletzungen.
 Grund: Bei verändertem Auflösungsvermögen Q^2 sieht man mehr/weniger Strukturen auf kleinen Skalen.



Aktuelle präzise Messungen von F_2 von HERA sehr gut mit QCD-Theorie verträglich!

